Über dieses Buch

Dies ist ein digitales Exemplar eines Buches, das seit Generationen in den Regalen der Bibliotheken aufbewahrt wurde, bevor es von Google im Rahmen eines Projekts, mit dem die Bücher dieser Welt online verfügbar gemacht werden sollen, sorgfältig gescannt wurde.

Das Buch hat das Urheberrecht überdauert und kann nun öffentlich zugänglich gemacht werden. Ein öffentlich zugängliches Buch ist ein Buch, das niemals Urheberrechten unterlag oder bei dem die Schutzfrist des Urheberrechts abgelaufen ist. Ob ein Buch öffentlich zugänglich ist, kann von Land zu Land unterschiedlich sein. Öffentlich zugängliche Bücher sind unser Tor zur Vergangenheit und stellen ein geschichtliches, kulturelles und wissenschaftliches Vermögen dar, das häufig nur schwierig zu entdecken ist.

Gebrauchsspuren, Anmerkungen und andere Randbemerkungen, die im Originalband enthalten sind, finden sich auch in dieser Datei – eine Erinnerung an die lange Reise, die das Buch vom Verleger zu einer Bibliothek und weiter zu Ihnen hinter sich gebracht hat.

Nutzungsrichtlinien

Google ist stolz, mit Bibliotheken in partnerschaftlicher Zusammenarbeit öffentlich zugängliches Material zu digitalisieren und einer breiten Masse zugänglich zu machen. Öffentlich zugängliche Bücher gehören der Öffentlichkeit, und wir sind nur ihre Hüter. Nichtsdestotrotz ist diese Arbeit kostspielig. Um diese Ressource weiterhin zur Verfügung stellen zu können, haben wir Schritte unternommen, um den Missbrauch durch kommerzielle Parteien zu verhindern. Dazu gehören technische Einschränkungen für automatisierte Abfragen.

Wir bitten Sie um Einhaltung folgender Richtlinien:

+ *Nutzung der Dateien zu nichtkommerziellen Zwecken* Wir haben Google Buchsuche für Endanwender konzipiert und möchten, dass Sie diese Dateien nur für persönliche, nichtkommerzielle Zwecke verwenden.

+ *Keine automatisierten Abfragen* Senden Sie keine automatisierten Abfragen irgendwelcher Art an das Google-System. Wenn Sie Recherchen über maschinelle Übersetzung, optische Zeichenerkennung oder andere Bereiche durchführen, in denen der Zugang zu Text in großen Mengen nützlich ist, wenden Sie sich bitte an uns. Wir fördern die Nutzung des öffentlich zugänglichen Materials für diese Zwecke und können Ihnen unter Umständen helfen.

+ *Beibehaltung von Google-Markenelementen* Das "Wasserzeichen" von Google, das Sie in jeder Datei finden, ist wichtig zur Information über dieses Projekt und hilft den Anwendern weiteres Material über Google Buchsuche zu finden. Bitte entfernen Sie das Wasserzeichen nicht.

+ *Bewegen Sie sich innerhalb der Legalität* Unabhängig von Ihrem Verwendungszweck müssen Sie sich Ihrer Verantwortung bewusst sein, sicherzustellen, dass Ihre Nutzung legal ist. Gehen Sie nicht davon aus, dass ein Buch, das nach unserem Dafürhalten für Nutzer in den USA öffentlich zugänglich ist, auch für Nutzer in anderen Ländern öffentlich zugänglich ist. Ob ein Buch noch dem Urheberrecht unterliegt, ist von Land zu Land verschieden. Wir können keine Beratung leisten, ob eine bestimmte Nutzung eines bestimmten Buches gesetzlich zulässig ist. Gehen Sie nicht davon aus, dass das Erscheinen eines Buchs in Google Buchsuche bedeutet, dass es in jeder Form und überall auf der Welt verwendet werden kann. Eine Urheberrechtsverletzung kann schwerwiegende Folgen haben.

Über Google Buchsuche

Das Ziel von Google besteht darin, die weltweiten Informationen zu organisieren und allgemein nutzbar und zugänglich zu machen. Google Buchsuche hilft Lesern dabei, die Bücher dieser Welt zu entdecken, und unterstützt Autoren und Verleger dabei, neue Zielgruppen zu erreichen. Den gesamten Buchtext können Sie im Internet unter `http://books.google.com` durchsuchen.

Stanford University Libraries
3 6105 025 655 577

Mitteilungen der deutschen materialprüfungsanstalten. Sonderheft.

Index. v.1-10, 1925-Oct.1929.

620.8
B515s
v.0
v.1-10
1925-Oct.1929

Digitized by Google

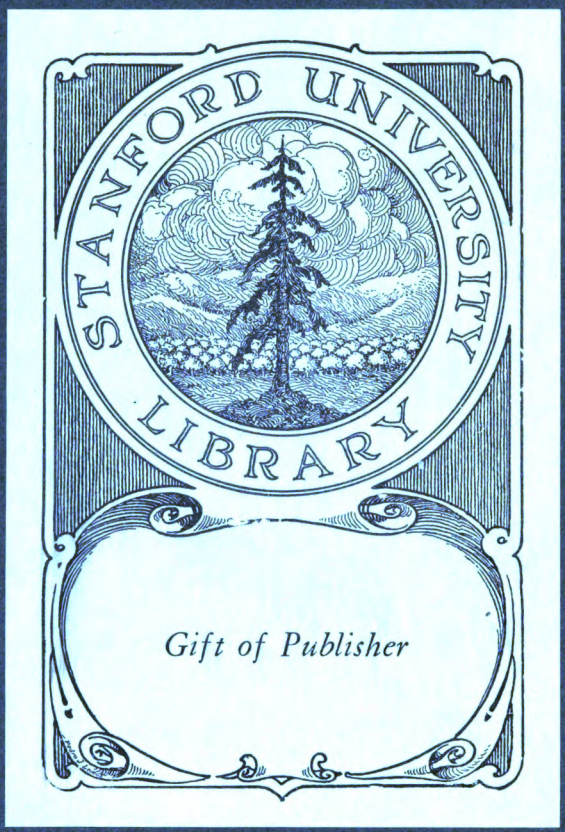

Digitized by Google

Digitized by Google

Digitized by Google

Verlagsbuchhandlung Julius Springer / Berlin

September 1929

748351

Sonderhefte

der Mitteilungen der

Deutschen Materialprüfungsanstalten

Arbeiten aus dem

Kaiser Wilhelm-Institut für Metallforschung

zu Berlin-Dahlem

und dem

Staatlichen Materialprüfungsamt

zu Berlin-Dahlem

Die in den Sonderheften verstreuten wertvollen Aufsätze und Forschungsergebnisse der vorstehenden Forschungsanstalten sind durch die Vielseitigkeit des Stoffes oft schwer aufzufinden. Die nachfolgenden, systematisch und stofflich gegliederten Übersichten werden daher den interessierten Kreisen sehr willkommen sein

A. Sachverzeichnis der Sonderhefte I-X

Die Inhaltsverzeichnisse der einzelnen Sonderhefte befinden sich auf Seite 25 u. f. Die Sonderhefte sind einzeln käuflich. Sonderdrucke der einzelnen Arbeiten werden nicht abgegeben

I. Metalle und Legierungen

Sonderhefte I-V und VIII-X

1. Systematisches Verzeichnis

Konstitutionsforschung

Der Aufbau des Rotgusses. Von M. Hansen. Mit 5 Abbildungen. (III.)*)

Über die magnesiumreichen Kupfer-Magnesiumlegierungen. Von M. Hansen. Mit 14 Abbildungen. (III.)

Der Aufbau der Kupfer-Zinklegierungen. Von O. Bauer und M. Hansen. Mit 172 Abbildungen. (IV.)

Das Gußeisen als Werkstoff und Baustoff. Von O. Bauer. Mit 19 Abbild. (V.)

Über die Sättigungsgrenze des α (Cu-Sn)-Mischkristalls. Von M. Hansen Mit 10 Abbildungen. (V.)

Zur Kenntnis der Zinnbronzen. Von M. Hansen. Mit 16 Abbildungen. (V.)

*) Die Abhandlungen sind nach Maßgabe ihres Inhalts in die einzelnen Gruppen eingeordnet. Die in Klammern gesetzten römischen Zahlen dahinter verweisen auf die Sonderhefte, in denen die Abhandlungen enthalten sind

Digitized by Google

Der Aufbau der aluminiumreichen Silber-Aluminiumlegierungen. Von M. Hansen. Mit 21 Abbildungen. (V.)

Der Einfluß von dritten Metallen auf die Konstitution der Messinglegierungen. I. Der Einfluß von Blei. (Ein Beitrag zur Kenntnis des Dreistoff-Systems Blei-Zink-Kupfer.) Von O. Bauer und M. Hansen. Mit 51 Abbildg. (IX.)

Die Löslichkeit von Kupfer und Silber. Von M. Hansen. Mit 13 Abbild. (X.)

Die Veredelung einer Aluminiumlegierung im Röntgenbild. Von Frhrn. v. Göler und G. Sachs. Mit 25 Abbildungen. (X.)

Mechanisch-Technologische Forschung

Das Verhalten der Aluminium-Zink-Legierungen. Von O. Bauer und W. Heidenhain. Mit 9 Abbildungen. (II.)

Die Härte der Kupfer-Zinn-Legierungen. Von O. Bauer und O. Vollenbruck. Mit 5 Abbildungen. (II.)

Festigkeitsuntersuchungen an Zink. Von G. Sachs. Mit 9 Abbildungen. (II.)

Die Verfestigungsfrage vom Standpunkt der Röntgenforschung. Von E. Schiebold. Mit 35 Abbildungen. (II.)

Zur Analyse des Zerreißversuches. Von G. Sachs. Mit 10 Abbildungen. (II.)

Über die Gitterlagen in deformierten Metallkristallen und Kristallhaufwerken. Von G. Sachs und E. Schiebold. Mit 11 Abbildungen. (II.)

Die Bedeutung des Gußgefüges für die Eigenschaften von Kupfer. (Einige Beispiele für Fehlstellen in verarbeitetem Kupfer.) Von O. Bauer und G. Sachs. Mit 44 Abbildungen. (III.)

Das Verhalten von Industriekupfer bei der Beanspruchung, erläutert bei Kaltbehandlung. Bedeutung der Kristalltextur und der dadurch bedingten Verteilung von Kupferoxydul u. Gasporen. Von E. Seidl u. E. Schiebold. (Unter Mitwirkung v. Charlotte Zierold, Berlin.) Mit 60 Abbildungen. (III.)

Seigerungen und Festigkeitseigenschaften. Von G. Fiek und G. Sachs. Mit 6 Abbildungen. (III.)

Örtlicher Massenausgleich unter der Wirkung örtlich angreifender Kräfte in Technik und Geologie. Von G. Sachs und E. Seidl. Mit 24 Abbildungen. (III.)

Walz- u. Rekristallisationstextur regulärflächenzentrierter Metalle. I u. II. Von Frhrn. v. Göler und G. Sachs. Mit 51 Abbildungen. (III.)

Versuche über die Rekristallisation von Metallen. I. Von R. Karnop und G. Sachs. Mit 35 Abbildungen. (III.)

Das Verhalten von Aluminiumkristallen bei Zugversuchen. II. Experimenteller Teil. Von R. Karnop und G. Sachs. Mit 25 Abbildungen. (III.)

Gefüge und Festigkeitseigenschaften von sehr reinem Aluminium. Von Frhrn. v. Göler und G. Sachs. Mit 14 Abbildungen. (V.)

Festigkeitseigenschaften von Metallkristallen. Von Frhrn. v. Göler und G. Sachs. Mit 17 Abbildungen. (V.)

Studien über den Zugversuch an kristallinen Stoffen. Von E. Schiebold und G. Richter. Mit 34 Abbildungen. (V.)

Abhängigkeit der elastischen Dehnungszahl α des Kupfers von der Vorbehandlung und Versuchsführung. Von W. Kuntze. Mit 21 Abbildungen. (V.)

Kerbwirkung in Technik u. Wissenschaft. Von E. Seidl. Mit 16 Abbildung. (V.)

Digitized by Google

Versuche zum Walz- u. Schmiedevorgang. Von G. Sachs. Mit 21 Abbildg. (V.)

Zur Theorie des Ziehvorganges. Von G. Sachs. Mit 2 Abbildungen. (V.)

Der Nachweis innerer Spannungen in Stangen und Rohren. Von G. Sachs. Mit 8 Abbildungen. (V.)

Innere Spannungen in Metallen. Von G. Sachs. Mit 29 Abbildungen. (V.)

Die Eigenschaften des Hartmessings. Von O. Bauer und K. Memmler. Mit 76 Abbildungen. (VIII.)

Schmiedespannungen, Vergütungsspannungen und Wärmespannungen. Von G. Sachs. Mit 22 Abbildungen. (X.)

Walz- und Rekristallisationstextur regulärflächenzentrierter Metalle. V. Von Frhrn. v. Göler und G. Sachs. Mit 16 Abbildungen. (X.)

Röntgenforschung

Die Verfestigungsfrage vom Standpunkt der Röntgenforschung. Von E. Schiebold. Mit 35 Abbildungen. (II.)

Das Verhalten inhomogener Aluminium-Gußblöckchen beim Kaltwalzen. Makroskopische Verfolgung der Entstehung einer Walztextur. Von E. Seidl und E. Schiebold. Mit 108 Abbildungen. (II.)

Wechselseitige Druckversuche an Aluminium. Von G. Sachs und E. Schiebold. Mit 39 Abbildungen. (II.)

Über graphische Auswertung von Röntgenphotogrammen. Von E. Schiebold. Mit 7 Abbildungen. (II.)

Über die Gitterlagen in deformierten Metallkristallen und Kristallhaufwerken. Von G. Sachs und E. Schiebold. Mit 11 Abbildungen. (II.)

Die Bedeutung des Gußgefüges für die Eigenschaften von Kupfer. (Einige Beispiele für Fehlstellen in verarbeitetem Kupfer.) Von O. Bauer und G. Sachs. Mit 44 Abbildungen. (III.)

Das Verhalten von Industriekupfer bei der Beanspruchung, erläutert bei Kaltbehandlung. Bedeutung der Kristalltextur und der dadurch bedingten Verteilung von Kupferoxydul und Gasporen. Von E. Seidl u. E. Schiebold. (Unter Mitwirkung von Charlotte Zierold.) Mit 60 Abbildungen. (III.)

Einige Beobachtungen an Aluminium und Aluminiumlegierungen. Von G. Sachs. Mit 14 Abbildungen. (III.)

Anwendung der Röntgenstrahlen für die Werkstoffuntersuchung. Von G. Sachs. Mit 35 Abbildungen. (III.)

Graphische Bestimmung der Gitterorientierung von Kristallen mit Hilfe des Laue-Verfahrens. Gesetzmäßiges Wachstum von Aluminiumkristallen bei der Rekristallisation. Von E. Schiebold u. G. Sachs. Mit 15 Abbildg. (III.)

Walz- und Rekristallisationstextur regulärflächenzentrierter Metalle. I u. II. Von Frhrn. v. Göler und G. Sachs. Mit 51 Abbildungen. (III.)

Rekristallisation und Entfestigung im Röntgenbild. Von G. Sachs und E. Schiebold. Mit 9 Abbildungen. (III.)

Versuche über die Rekristallisation von Metallen. I. Von R. Karnop und G. Sachs. Mit 35 Abbildungen. (III.)

Gefüge und Festigkeitseigenschaften von sehr reinem Aluminium. Von Frhrn. v. Göler und G. Sachs. Mit 14 Abbildungen. (V.)

Digitized by Google

Über die mechanische Zwillingsbildung von Zinkkristallen. Von E. Schmid und G. Wassermann. Mit 11 Abbildungen. (V.)

Innere Spannungen im Röntgenbild. Von Frhrn. v. Göler und G. Sachs. Mit 2 Abbildungen. (V.)

Anordnung der Kristallite in Vielkristallen. (Texturen.) Von E. Schmid. Mit 26 Abbildungen. (IX.)

Gefügeuntersuchungen an gegossenen Metallen und Legierungen. Von E. Schmid. Mit 5 Abbildungen. (X.)

Die Veredelung einer Aluminiumlegierung im Röntgenbild. Von Frhrn. v. Göler und G. Sachs. Mit 25 Abbildungen. (X.)

Über die Gußtextur von Metallen und Legierungen. Von F. C. Nix und E. Schmid. Mit 19 Abbildungen. (X.)

Über die Textur gezogener Magnesium- und Zinkdrähte. Von E. Schmid und G. Wassermann. Mit 5 Abbildungen. (X.)

Walz- und Rekristallisationstextur regulärflächenzentrierter Metalle. III, IV u. V. Von Frhrn. v. Göler und G. Sachs. Mit 55 Abbildungen. (X.)

Zugversuche an Kristallen von Kupfer und α-Messing. Von Frhrn. v. Göler und G. Sachs. Mit 30 Abbildungen. (X.)

Kristallographische Forschung

Die Verfestigungsfrage vom Standpunkt der Röntgenforschung. Von E. Schiebold. Mit 35 Abbildungen. (II.)

Das Verhalten inhomogener Aluminium-Gußblöckchen beim Kaltwalzen. Makroskopische Verfolgung der Entstehung einer Walztextur. Von E. Seidl und E. Schiebold. Mit 108 Abbildungen. (II.)

Wechselseitige Druckversuche an Aluminium. Von G. Sachs und E. Schiebold. Mit 39 Abbildungen. (II.)

Über graphische Auswertung von Röntgenphotogrammen. Von E. Schiebold. Mit 7 Abbildungen. (II.)

Über die Gitterlagen in deformierten Metallkristallen und Kristallhaufwerken. Von G. Sachs und E. Schiebold. Mit 11 Abbildungen. (II.)

Der Aufbau der Kristalle. Von K. Weißenberg. (II.)

Einige Beobachtungen an Aluminium und Aluminiumlegierungen. Von G. Sachs. Mit 12 Abbildungen. (III.)

Graphische Bestimmung der Gitterorientierung von Kristallen mit Hilfe des Laue-Verfahrens. Gesetzmäßiges Wachstum von Aluminiumkristallen bei der Rekristallisation. Von E. Schiebold u. G. Sachs. Mit 15 Abbildungen. (III.)

Walz- u. Rekristallisationstextur regulärflächenzentrierter Metalle. I u. II. Von Frhrn. v. Göler und G. Sachs. Mit 51 Abbildungen. (III.)

Versuche über die Rekristallisation von Metallen. I. Von R. Karnop und G. Sachs. Mit 34 Abbildungen. (III.)

Das Verhalten von Aluminiumkristallen bei Zugversuchen. I. Geometrische Grundlagen. Von Frhrn. v. Göler und G. Sachs. Mit 6 Abbildungen. (III.)

Das Verhalten von Aluminiumkristallen bei Zugversuchen. II. Experimenteller Teil. Von R. Karnop und G. Sachs. Mit 25 Abbildungen. (III.)

Digitized by Google

Kristallbau u. chemische Konstitution. (I.-III. Mitt.) Von K. Weißenberg. (III.)

Festigkeitseigenschaften von Metallkristallen. Von Frhrn. v. Göler und G. Sachs. Mit 17 Abbildungen. (V.)

Über die mechanische Zwillingsbildung von Zinkkristallen. Von E. Schmid und G. Wassermann. Mit 11 Abbildungen. (V.)

Zug-Druckversuche an Messingkristallen (Bauschingereffekt). Von G. Sachs und H. Shoji. Mit 24 Abbildungen. (V.)

Symmetriegruppen mit zwei Translationen. Von A. Burgeni und K. Weißenberg. Mit 30 Abbildungen. (V.)

Zur Ableitung einer Fließbedingung. Von G. Sachs. Mit 4 Abbildungen. (IX.)

Festigkeit u. Plastizität von Metallkristallen. Von E. Schmid. Mit 13 Abb. (IX.)

Über die Dehnung von Cadmiumkristallen. Von W. Boas und E. Schmid. Mit 26 Abbildungen. (IX.)

Das Fließen von Metallkristallen bei Torsion. Von R. Karnop und G. Sachs. Mit 7 Abbildungen. (IX.)

Untersuchungen an Kristallen von β-Messing. Von Frhrn. v. Göler und G. Sachs. Mit 12 Abbildungen. (IX.)

Mechanische Eigenschaften von Messingkristallen. Von M. Masima und G. Sachs. Mit 27 Abbildungen. (IX.)

Walz- und Rekristallisationstextur regulärflächenzentrierter Metalle. III, IV u. V. Von Frhrn. v. Göler und G. Sachs. Mit 55 Abbildungen. (X.)

Zur Frage der Plastizität. Verformung bei tiefen Temperaturen. Von M. Polanyi und E. Schmid. Mit 5 Abbildungen. (X.)

Bemerkungen zur Kristallplastizität. Von W. Boas und E. Schmid. Mit 2 Abbildungen. (X.)

Zugversuche an Kristallen von Kupfer und α-Messing. Von Frhrn. v. Göler und G. Sachs. Mit 30 Abbildungen. (X.)

Über die Temperaturabhängigkeit der kritischen Schubspannung von Cadmiumkristallen. Von W. Boas und E. Schmid. Mit 4 Abbildungen. (X.)

Festigkeit und Plastizität von Steinsalzkristallen. Von E. Schmid und O. Vaupel. Mit 13 Abbildungen. (X.)

Korrosionsforschung

Das Verhalten von Eisen, Rotguß und Messing gegenüber den in Kaliabwässern enthaltenen Salzen und Salzgemischen bei gewöhnlicher Temperatur und bei den im Dampfkessel herrschenden Temperaturen und Drücken. Untersuchungen, auf Veranlassung des Reichsgesundheitsamtes ausgeführt von O. Bauer unter Mitwirkung von O. Vogel und K. Zepf. Mit 47 Abbildungen. (I.)

Das Verhalten der Aluminium-Zink-Legierungen. Von O. Bauer und W. Heidenhain. Mit 9 Abbildungen. (II.)

Das Verhalten einiger Metalle und Legierungen gegenüber der Einwirkung von Plastilin u. freiem Schwefel. Von O. Bauer u. H. Arndt. Mit 5 Abb. (II.)

Das Gußeisen als Werkstoff und Baustoff. Von O. Bauer. Mit 19 Abbildg. (V.)

Über die Prüfung der Zinnauflage von Kupferdrähten. Von E. Schürmann und H. Blumenthal. (V.)

Digitized by Google

Untersuchungen über das Gußgefüge

Das Verhalten der Aluminium-Zink-Legierungen. Von O. Bauer und W. Heidenhain. Mit 9 Abbildungen. (II.)

Das Verhalten inhomogener Aluminium-Gußblöckchen beim Kaltwalzen. Makroskopische Verfolgung der Entstehung einer Walztextur. Von E. Seidl und E. Schiebold. Mit 108 Abbildungen. (II.)

Die Bedeutung des Gußgefüges für die Eigenschaften von Kupfer. (Einige Beispiele für Fehlstellen in verarbeitetem Kupfer.) Von O. Bauer und G. Sachs. Mit 44 Abbildungen. (III.)

Das Verhalten von Industriekupfer bei der Beanspruchung, erläutert bei Kaltbehandlung. Bedeutung der Kristalltextur und der dadurch bedingten Verteilung von Kupferoxydul und Gasporen. Von E. Seidl und E. Schiebold. (Unter Mitwirkung von Charlotte Zierold.) Mit 60 Abbildungen. (III.)

Die Eigenschaften des Scleronmetalls. Von O. Bauer und O. Vollenbruck. Mit 20 Abbildungen. (III.)

Seigerungen und Festigkeitseigenschaften. Von G. Fiek und G. Sachs. Mit 6 Abbildungen. (III.)

Das Gußeisen als Werkstoff u. Baustoff. Von O. Bauer. Mit 19 Abbildg. (V.)

Zur Entstehung des Gußgefüges. Von Frhrn. v. Göler und G. Sachs. Mit 23 Abbildungen. (V.)

Der Einfluß der chemischen und kristallographischen Beschaffenheit des Gußmaterials auf das Verhalten beim Walzen, erläutert an Industrie-Aluminium, -Kupfer und -Zink. Von E. Seidl. Mit 24 Abbildungen. (V.)

Der Einfluß von Kohlenstoff, Mangan und Silizium auf das Wachsen des Gußeisens. Von O. Bauer und K. Sipp. Mit 69 Abbildungen. (IX.)

Der Einfluß kleiner Zusätze von Kupfer und Nickel auf die Wärmeausdehnung und auf das Wachsen des Gußeisens. Von O. Bauer und H. Sieglerschmidt. Mit 13 Abbildungen. (IX.)

Einfluß der Temperatur und der Abkühlungsverhältnisse beim Gießen von Zink. Von O. Bauer und P. Zunker. Mit 46 Abbildungen. (X.)

Gefügeuntersuchungen an gegossenen Metallen und Legierungen. Von E. Schmid. Mit 5 Abbildungen. (X.)

Über die Gußtextur von Metallen und Legierungen. Von F. C. Nix und E. Schmid. Mit 19 Abbildungen. (X.)

Konstitutionsforschung in Verbindung mit Eigenschaftsuntersuchungen

Das Verhalten der Aluminium-Zink-Legierungen. Von O. Bauer und W. Heidenhain. Mit 9 Abbildungen. (II.)

Die Härte der Kupfer-Zinn-Legierungen. Von O. Bauer und O. Vollenbruck. Mit 5 Abbildungen. (II.)

Festigkeitseigenschaften und Struktur einiger begrenzter Mischkristallreihen. Untersuchungen an den silberreichen festen Lösungen der Systeme Ag-Mg, Ag-Al, Ag-Sb, Ag-Sn, Ag-Zn, Ag-Cd und Ag-Mn. Von F. Saeftel und G. Sachs. Mit 43 Abbildungen. (II.)

Digitized by Google

Die Härtung der Metalle. Von G. Sachs. Mit 23 Abbildungen. (II.)

Härtebestimmungen und Spannungsmessungen mit Zink-Kupfer-Legierungen. Von O. Bauer und O. Vollenbruck. Mit 8 Abbildungen. (III.)

Einige Beobachtungen an Aluminium und Aluminiumlegierungen. Von G. Sachs. Mit 14 Abbildungen. (III.)

Das Gußeisen als Werkstoff und Baustoff. Von O. Bauer. Mit 19 Abbildg. (V.)

Die elektrische Leitfähigkeit von Silberlegierungen. Von M. Hansen und G. Sachs. Mit 3 Abbildungen. (V.)

Die Eigenschaften des Hartmessings. Von O. Bauer und K. Memmler. Mit 76 Abbildungen. (VIII.)

Versuche zum Duraluminproblem. Von E. Schmid und G. Wassermann. Mit 23 Abbildungen. (IX.)

Die Altershärtung der aluminiumreichen Silber-Aluminiumlegierungen. Von M. Hansen. Mit 6 Abbildungen. (IX.)

Der Einfluß von Kohlenstoff, Mangan und Silizium auf das Wachsen des Gußeisens. Von O. Bauer und K. Sipp. Mit 69 Abbildungen (IX.)

Der Einfluß kleiner Zusätze von Kupfer und Nickel auf die Wärmeausdehnung und auf das Wachsen des Gußeisens. Von O. Bauer und H. Sieglerschmidt. Mit 13 Abbildungen. (IX.)

Zur Analyse des Formänderungswiderstandes. Von R. Eisenschitz, B. Rabinowitsch und K. Weißenberg. Mit 2 Abbildungen. (IX.)

Festigkeitseigenschaften von Kristallen einer veredelbaren Aluminiumlegierung. Von R. Karnop und G. Sachs. Mit 20 Abbildungen. (IX.)

Die Veredelung einer Aluminiumlegierung im Röntgenbild. Von Frhrn. v. Göler und G. Sachs. Mit 25 Abbildungen. (X.)

Untersuchungen über die Vorgänge bei der Bearbeitung

Die Verfestigungsfrage vom Standpunkt der Röntgenforschung. Von E. Schiebold. Mit 35 Abbildungen. (II.)

Die Härtung der Metalle. Von G. Sachs. Mit 23 Abbildungen. (II.)

Das Verhalten inhomogener Aluminium-Gußblöckchen beim Kaltwalzen. Makroskopische Verfolgung der Entstehung einer Walztextur. Von E. Seidl und E. Schiebold. Mit 108 Abbildungen. (II.)

Wechselseitige Druckversuche an Aluminium. Von G. Sachs und E. Schiebold. Mit 39 Abbildungen. (II.)

Das Verhalten von Industriekupfer bei der Beanspruchung, erläutert bei Kaltbehandlung. Bedeutung der Kristalltextur und der dadurch bedingten Verteilung von Kupferoxydul und Gasporen. Von E. Seidl und E. Schiebold. (Unter Mitwirkung von Charlotte Zierold.) Mit 60 Abbildungen. (III.)

Örtlicher Massenausgleich unter der Wirkung örtlich angreifender Kräfte in Technik und Geologie. Von G. Sachs und E. Seidl. Mit 24 Abbildungen. (III.)

Walz- und Rekristallisationstextur regulärflächenzentrierter Metalle. I u. II. Von Frhrn. v. Göler und G. Sachs. Mit 51 Abbildungen. (III.)

Flußstähle mit geringer Alterungseigenschaft. Von O. Bauer. Mit 22 Abb. (V.)

Digitized by Google

Der Einfluß der chemischen und kristallographischen Beschaffenheit des Gußmaterials auf das Verhalten beim Walzen, erläutert an Industrie-Aluminium, -Kupfer und -Zink. Von E. Seidl. Mit 24 Abbildungen. (V.)

Kerbwirkung in Technik und Wissenschaft. Von E. Seidl. Mit 16 Abbildungen. (V.)

Versuche zum Walz- und Schmiedevorgang. Von G. Sachs. Mit 21 Abbildungen. (V.)

Zur Theorie des Ziehvorganges. Von G. Sachs. Mit 2 Abbildungen. (V.)

Der Nachweis innerer Spannungen in Stangen und Rohren. Von G. Sachs. Mit 8 Abbildungen. (V.)

Innere Spannungen in Metallen. Von G. Sachs. Mit 29 Abbildungen. (V.)

Untersuchungen an Kupfer und Messing. Von O. Bauer, Frhrn. v. Göler und G. Sachs. Mit 23 Abbildungen. (IX.)

Leitfähigkeit und Kaltverformung. Von M. Masima und G. Sachs. Mit 5 Abbildungen. (IX.)

Dichte und Kaltverformung. Von M. Masima und G. Sachs. Mit 3 Abbildungen. (IX.)

Schmiedespannungen, Vergütungsspannungen und Wärmespannungen. Von G. Sachs. Mit 22 Abbildungen. (X.)

Der Einfluß des Einwalzens von Rohren auf gewöhnliches Kesselblech und auf Izett-Blech. Von O. Bauer und H. Arndt. Mit 16 Abbildungen. (X.)

Über die Textur gezogener Magnesium- und Zinkdrähte. Von E. Schmid und G. Wassermann. Mit 5 Abbildungen. (X.)

Walz- und Rekristallisationstextur regulärflächenzentrierter Metalle. III. Von Frhrn. v. Göler und G. Sachs. Mit 17 Abbildungen. (X.)

Physikalisch-chemische Untersuchungen

Das Verhalten von Eisen, Rotguß und Messing gegenüber den in Kaliabwässern enthaltenen Salzen und Salzgemischen bei gewöhnlicher Temperatur und bei den im Dampfkessel herrschenden Temperaturen und Drücken. Untersuchungen, auf Veranlassung des Reichsgesundheitsamtes ausgeführt von O. Bauer unter Mitwirkung von O. Vogel und K. Zepf. Mit 47 Abbildungen. (I.)

Das Verhalten einiger Metalle und Legierungen gegenüber der Einwirkung von Plastilin und freiem Schwefel. Von O. Bauer und H. Arndt. Mit 5 Abbildungen. (II.)

Über die Einwirkung von Zink, Zinn, Aluminium und Magnesium auf kupferoxydulhaltiges Kupfer. Von O. Bauer und H. Arndt. Mit 23 Abbildungen. (III.)

Härtebestimmungen und Spannungsmessungen mit Zink-Kupfer-Legierungen. Von O. Bauer und O. Vollenbruck. Mit 8 Abbildungen. (III.)

Die Eigenschaften des Scleronmetalls. Von O. Bauer und O. Vollenbruck. Mit 20 Abbildungen. (III.)

Die Ausdehnung des Zinks bei steigenden Temperaturen. Von O. Bauer und H. Sieglerschmidt. Mit 1 Abbildung. (V.)

Über das Ferrohydroxyd (Eisen-2-hydroxyd). Von E. Deiss und G. Schikorr. Mit 4 Abbildungen. (V.)

Digitized by Google

Untersuchungen an Einkristallen

Die Verfestigungsfrage vom Standpunkt der Röntgenforschung. Von E. Schiebold. Mit 35 Abbildungen. (II.)

Versuche über die Rekristallisation von Metallen. I. Von R. Karnop und G. Sachs. Mit 35 Abbildungen. (III.)

Das Verhalten von Aluminiumkristallen bei Zugversuchen. I. Geometrische Grundlagen. Von Frhrn. v. Göler und G. Sachs. Mit 6 Abbildungen. (III.)

Das Verhalten von Aluminiumkristallen bei Zugversuchen. II. Experimenteller Teil. Von R. Karnop und G. Sachs. Mit 25 Abbildungen. (III.)

Festigkeitseigenschaften von Metallkristallen. Von Frhrn. v. Göler und G. Sachs. Mit 17 Abbildungen. (V.)

Über die mechanische Zwillingsbildung von Zinkkristallen. Von E. Schmid und G. Wassermann. Mit 11 Abbildungen. (V.)

Zug-Druckversuche an Messingkristallen (Bauschingereffekt). Von G. Sachs und H. Shoji. Mit 24 Abbildungen. (V.)

Das Fließen von Metallkristallen bei Torsion. Von R. Karnop und G. Sachs. Mit 7 Abbildungen. (IX.)

Festigkeitseigenschaften von Kristallen einer veredelbaren Aluminiumlegierung. Von R. Karnop und G. Sachs. Mit 20 Abbildungen. (IX.)

Untersuchungen an Kristallen von β-Messing. Von Frhrn. v. Göler und G. Sachs. Mit 12 Abbildungen. (IX.)

Mechanische Eigenschaften von Messingkristallen. Von M. Masima und G. Sachs. Mit 27 Abbildungen. (IX.)

Leitfähigkeit und Kaltverformung. Von M. Masima und G. Sachs. Mit 5 Abbildungen. (IX.)

Dichte und Kaltverformung. Von M. Masima und G. Sachs. Mit 3 Abbildungen. (IX.)

Die Veredelung einer Aluminiumlegierung im Röntgenbild. Von Frhrn. v. Göler und G. Sachs. Mit 25 Abbildungen. (X.)

Zugversuche an Kristallen von Kupfer und α-Messing. Von Frhrn. v. Göler und G. Sachs. Mit 30 Abbildungen. (X.)

Wärmeeffekte bei Dehnung von Messingkristallen. Von M. Masima und G. Sachs. Mit 1 Abbildung. (X.)

Über die Temperaturabhängigkeit der kritischen Schubspannungen von Cadmiumkristallen. Von W. Boas und E. Schmid. Mit 4 Abbildungen. (X.)

Festigkeit und Plastizität von Steinsalzkristallen. Von E. Schmid und O. Vaupel. Mit 13 Abbildungen. (X.)

Rekristallisationsuntersuchungen

Festigkeitsuntersuchungen an Zink. Von G. Sachs. Mit 9 Abbildungen. (II.)

Festigkeitseigenschaften und Struktur einiger begrenzter Mischkristallreihen. Untersuchungen an den silberreichen festen Lösungen der Systeme Ag-Mg, Ag-Al, Ag-Sb, Ag-Sn, Ag-Zn, Ag-Cd und Ag-Mn. Von F. Saeftel und G. Sachs. Mit 43 Abbildungen. (II.)

Digitized by Google

Die Verfestigungsfrage vom Standpunkt der Röntgenforschung. Von E. Schiebold. Mit 35 Abbildungen. (II.)

Über die Auslösung innerer Spannungen durch Glühen. Von M. Polanyi und G. Sachs. Mit 2 Abbildungen. (II.)

Einige Beobachtungen an Aluminium und Aluminiumlegierungen. Von G. Sachs. Mit 14 Abbildungen. (III.)

Beitrag zum Härteproblem. Von G. Sachs. Mit 22 Abbildungen. (III.)

Anwendung der Röntgenstrahlen für die Werkstoffuntersuchung. Von G. Sachs. Mit 31 Abbildungen. (III.)

Walz- u. Rekristallisationstextur regulärflächenzentrierter Metalle. I u. II. Von Frhrn. v. Göler und G. Sachs. Mit 51 Abbildungen. (III.)

Rekristallisation und Entfestigung im Röntgenbild. Von G. Sachs und E. Schiebold. Mit 9 Abbildungen. (III.)

Versuche über die Rekristallisation von Metallen. I. Von R. Karnop und G. Sachs. Mit 35 Abbildungen. (III.)

Gefüge und Festigkeitseigenschaften von sehr reinem Aluminium. Von Frhrn. v. Göler und G. Sachs. Mit 14 Abbildungen. (V.)

Untersuchungen an Kupfer und Messing. Von O. Bauer, Frhrn. v. Göler und G. Sachs. Mit 23 Abbildungen. (IX.)

Versuche über die Rekristallisation von Metallen. II. Von R. Karnop und G. Sachs. Mit 12 Abbildungen. (IX.)

Walz- und Rekristallisationstextur regulärflächenzentrierter Metalle. IV. Von Frhrn. v. Göler und G. Sachs. Mit 22 Abbildungen. (X.)

Innere Spannungen

Über die Auslösung innerer Spannungen durch Glühen. Von M. Polanyi und G. Sachs. Mit 2 Abbildungen. (II.)

Über elastische Hysteresis und innere Spannungen in gebogenen Steinsalzkristallen. Von M. Polanyi und G. Sachs. Mit 10 Abbildungen. (II.)

Zug-Druckversuche an Messingkristallen (Bauschingereffekt). Von G. Sachs und H. Shoji. Mit 24 Abbildungen. (V.)

Kerbwirkung in Technik und Wissenschaft. Von E. Seidl. Mit 16 Abbildungen. (V.)

Der Nachweis innerer Spannungen in Stangen und Rohren. Von G. Sachs. Mit 8 Abbildungen. (V.)

Innere Spannungen in Metallen. Von G. Sachs. Mit 29 Abbildungen. (V.)

Innere Spannungen im Röntgenbild. Von Frhrn. v. Göler und G. Sachs. Mit 2 Abbildungen. (V.)

Die Eigenschaften des Hartmessings. Von O. Bauer und K. Memmler. Mit 76 Abbildungen. (VIII.)

Schmiedespannungen, Vergütungsspannungen und Wärmespannungen. Von G. Sachs. Mit 22 Abbildungen. (X.)

Digitized by Google

Chemisch-analytische Untersuchungen

Zur Analyse der Stellite, Akrite und ähnlich zusammengesetzter Legierungen. Von E. Deiss. (V.)

Die Bestimmung von Lithium in Scleronmetall und ähnlichen Aluminiumlegierungen. Von E. Schürmann und W. Böhm. (V.)

Über die Prüfung der Zinnauflage von Kupferdrähten. Von E. Schürmann und H. Blumenthal. (V.)

Über ein Verfahren zur Bestimmung kleinster Antimonmengen im Kupfer. Von H. Blumenthal. (V.)

Zur Probenahme und Analyse von Rotguß und anderen zur Seigerung neigenden Legierungen. Von O. Bauer und E. Deiss. Mit 2 Abbildungen. (X.)

Untersuchungen über Materialprüfungen

Festigkeitsuntersuchungen an Zink. Von G. Sachs. Mit 9 Abbildungen. (II.)

Festigkeitseigenschaften und Struktur einiger begrenzter Mischkristallreihen. Untersuchungen an den silberreichen festen Lösungen der Systeme Ag-Mg, Ag-Al, Ag-Sb, Ag-Sn, Ag-Zn, Ag-Cd und Ag-Mn. Von F. Saeftel und G. Sachs. Mit 43 Abbildungen. (II.)

Die Härtung der Metalle. Von G. Sachs. Mit 23 Abbildungen. (II.)

Zur Analyse des Zerreißversuches. Von G. Sachs. Mit 10 Abbildungen. (II.)

Das Verhalten inhomogener Aluminium-Gußblöckchen beim Kaltwalzen. Makroskopische Verfolgung der Entstehung einer Walztextur. Von E. Seidl und E. Schiebold. Mit 108 Abbildungen. (II.)

Wechselseitige Druckversuche an Aluminium. Von G. Sachs und E. Schiebold. Mit 39 Abbildungen. (II.)

Das Verhalten von Industriekupfer bei der Beanspruchung, erläutert bei Kaltbehandlung. Bedeutung der Kristalltextur und der dadurch bedingten Verteilung von Kupferoxydul und Gasporen. Von E. Seidl und E. Schiebold. (Unter Mitwirkung von Charlotte Zierold.) Mit 60 Abbildungen. (III.)

Härtebestimmungen und Spannungsmessungen mit Zink-Kupfer-Legierungen. Von O. Bauer und O. Vollenbruck. Mit 8 Abbildungen. (III.)

Die Eigenschaften des Scleronmetalls. Von O. Bauer und O. Vollenbruck. Mit 20 Abbildungen. (III.)

Seigerungen und Festigkeitseigenschaften. Von G. Fiek und G. Sachs. Mit 6 Abbildungen. (III.)

Werkstoffprüfung und Werkstoffeigenschaften. Bemerkungen über die Bedeutung des Zugversuches. Von G. Sachs. (III.)

Der Zugversuch am Flachstab. Von W. Kuntze und G. Sachs. Mit 18 Abbildungen. (III.)

Beitrag zum Härteproblem. Von G. Sachs. Mit 22 Abbildungen. (III.)

Anwendung der Röntgenstrahlen für die Werkstoffuntersuchung. Von G. Sachs. Mit 35 Abbildungen. (III.)

Das Verhalten von Aluminiumkristallen bei Zugversuchen. I. Geometrische Grundlagen. Von Frhrn. v. Göler und G. Sachs. Mit 6 Abbildungen. (III.)

Digitized by Google

Das Verhalten von Aluminiumkristallen bei Zugversuchen. II. Experimenteller Teil. Von R. Karnop und G. Sachs. Mit 25 Abbildungen. (III.)

Das Gußeisen als Werkstoff und Baustoff. Von O. Bauer. Mit 19 Abbildungen. (V.)

Flußstähle mit geringer Alterungseigenschaft. Von O. Bauer. Mit 22 Abbildungen. (V.)

Der Einfluß der chemischen und kristallographischen Beschaffenheit des Gußmaterials auf das Verhalten beim Walzen, erläutert an Industrie-Aluminium, -Kupfer und -Zink. Von E. Seidl. Mit 24 Abbildungen. (V.)

Festigkeitseigenschaften von Metallkristallen. Von Frhrn. v. Göler und G. Sachs. Mit 17 Abbildungen. (V.)

Zug-Druckversuche an Messingkristallen (Bauschingereffekt). Von G. Sachs und H. Shoji. Mit 24 Abbildungen. (V.)

Innere Spannungen in Metallen. Von G. Sachs. Mit 29 Abbildungen. (V.)

Untersuchungen an Kupfer und Messing. Von O. Bauer, Frhrn. v. Göler und G. Sachs. Mit 23 Abbildungen. (IX.)

Zur Kenntnis der Streckgrenze von Stahl. Von W. Kuntze und G. Sachs. Mit 26 Abbildungen. (IX.)

Was ist Ermüdung? Von K. Laute und G. Sachs. Mit 2 Abbildungen. (IX.)

Zur Ableitung einer Fließbedingung. Von G. Sachs. Mit 4 Abbildungen. (IX.)

Das Fließen von Metallkristallen bei Torsion. Von R. Karnop und G. Sachs. Mit 7 Abbildungen. (IX.)

Schmiedespannungen, Vergütungsspannungen und Wärmespannungen. Von G. Sachs. Mit 22 Abbildungen. (X.)

Elastizität, statische Versuche und Dauerprüfung. Von W. Kuntze, G. Sachs und H. Sieglerschmidt. Mit 14 Abbildungen. (X.)

Die Dehnung von Blechen. Von G. Sachs und W. Stenzel. Mit 21 Abbildungen. (X.)

Die Prüfung von Seildrähten durch Zug- und Biegeversuche. Von G. Sachs und H. Sieglerschmidt. Mit 30 Abbildungen. (X.)

Walz- und Rekristallisationstextur regulärflächenzentrierter Metalle. V. Von Frhrn. v. Göler und G. Sachs. Mit 16 Abbildungen. (X.)

Arbeiten technischen Charakters

Das Verhalten von Eisen, Rotguß und Messing gegenüber den in Kaliabwässern enthaltenen Salzen und Salzgemischen bei gewöhnlicher Temperatur und bei den im Dampfkessel herrschenden Temperaturen und Drücken. Untersuchungen, auf Veranlassung des Reichsgesundheitsamtes ausgeführt von O. Bauer unter Mitwirkung von O. Vogel und K. Zepf. Mit 47 Abb. (I.)

Das Verhalten inhomogener Aluminium-Gußblöckchen beim Kaltwalzen. Makroskopische Verfolgung der Entstehung einer Walztextur. Von E. Seidl und E. Schiebold. Mit 108 Abbildungen. (II.)

Über die Einwirkung von Zink, Zinn, Aluminium und Magnesium auf kupferoxydulhaltiges Kupfer. Von O. Bauer und H. Arndt. Mit 23 Abbild. (III.)

Die Bedeutung des Gußgefüges für die Eigenschaften von Kupfer. (Einige Beispiele für Fehlstellen in verarbeitetem Kupfer.) Von O. Bauer und G. Sachs. Mit 44 Abbildungen. (III.)

Digitized by Google

Das Verhalten von Industriekupfer bei der Beanspruchung, erläutert bei Kaltbehandlung. Bedeutung der Kristalltextur und der dadurch bedingten Verteilung von Kupferoxydul und Gasporen. Von E. Seidl und E. Schiebold. (Unter Mitwirkung von Charlotte Zierold.) Mit 60 Abbildungen. (III.)

Die Eigenschaften des Scleronmetalls. Von O. Bauer und O. Vollenbruck. Mit 20 Abbildungen. (III.)

Seigerungen und Festigkeitseigenschaften. Von G. Fiek und G. Sachs. Mit 6 Abbildungen. (III.)

Werkstoffprüfung und Werkstoffeigenschaften. Bemerkungen über die Bedeutung des Zugversuches. Von G. Sachs. (III.)

Der Zugversuch am Flachstab. Von W. Kuntze und G. Sachs. Mit 18 Abbildungen. (III.)

Örtlicher Massenausgleich unter der Wirkung örtlich angreifender Kräfte in Technik und Geologie. Von G. Sachs und E. Seidl. Mit 24 Abbildungen.(III.)

Anwendung der Röntgenstrahlen für die Werkstoffuntersuchung. Von G. Sachs. Mit 35 Abbildungen. (III.)

Das Gußeisen als Werkstoff und Baustoff. Von O. Bauer. Mit 19 Abbildungen. (V.)

Flußstähle mit geringer Alterungseigenschaft. Von O. Bauer. Mit 22 Abbildungen. (V.)

Der Einfluß der chemischen und kristallographischen Beschaffenheit des Gußmaterials auf das Verhalten beim Walzen, erläutert an Industrie-Aluminium, -Kupfer und -Zink. Von E. Seidl. Mit 24 Abbildungen. (V.)

Kerbwirkung in Technik und Wissenschaft. Von E. Seidl. Mit 16 Abbildungen. (V.)

Zur Theorie des Ziehvorganges. Von G. Sachs. Mit 2 Abbildungen. (V.)

Der Nachweis innerer Spannungen in Stangen und Rohren. Von G. Sachs. Mit 8 Abbildungen. (V.)

Innere Spannungen in Metallen. Von G. Sachs. Mit 29 Abbildungen. (V.)

Innere Spannungen im Röntgenbild. Von Frhrn. v. Göler und G. Sachs. Mit 2 Abbildungen. (V.)

Über die Prüfung der Zinnauflage von Kupferdrähten. Von E. Schürmann und H. Blumenthal. (V.)

Die Eigenschaften des Hartmessings. Von O. Bauer und K. Memmler. Mit 76 Abbildungen. (VIII.)

Der Einfluß von Kohlenstoff, Mangan und Silizium auf das Wachsen des Gußeisens. Von O. Bauer und K. Sipp. Mit 69 Abbildungen. (IX.)

Der Einfluß kleiner Zusätze von Kupfer und Nickel auf die Wärmeausdehnung und auf das Wachsen des Gußeisens. Von O. Bauer und H. Sieglerschmidt. Mit 13 Abbildungen. (IX.)

Einfluß der Temperatur und der Abkühlungsverhältnisse beim Gießen von Zink. Von O. Bauer und P. Zunker. Mit 46 Abbildungen. (X.)

Schmiedespannungen, Vergütungsspannungen und Wärmespannungen. Von G. Sachs. Mit 22 Abbildungen. (X.)

Der Einfluß des Einwalzens von Rohren auf gewöhnliches Kesselblech und auf Izett-Blech. Von O. Bauer und H. Arndt. Mit 16 Abbildungen. (X.)

Digitized by Google

Die Dehnung von Blechen. Von G. Sachs und W. Stenzel. Mit 21 Abbildungen. (X.)

Die Prüfung von Seildrähten durch Zug- und Biegeversuche. Von G. Sachs und H. Sieglerschmidt. Mit 30 Abbildungen. (X.)

Zur Probenahme und Analyse von Rotguß und anderen zur Seigerung neigenden Legierungen. Von O. Bauer und E. Deiss. Mit 2 Abbildungen. (X.)

Verschiedenes

Über die Prüfung der Zinnauflage von Kupferdrähten. Von E. Schürmann und H. Blumenthal. (V.)

Über das Ferrohydroxyd (Eisen-2-hydroxyd). Von E. Deiss und G. Schikorr. Mit 4 Abbildungen. (V.)

Die Eigenschaften des Hartmessings. Von O. Bauer und K. Memmler. Mit 76 Abbildungen. (VIII.)

2. Stoffliches Verzeichnis

Aluminium

Das Verhalten einiger Metalle und Legierungen gegenüber der Einwirkung von Plastilin und freiem Schwefel. Von O. Bauer und H. Arndt. Mit 5 Abbildungen. (II.)

Das Verhalten inhomogener Aluminium-Gußblöckchen beim Kaltwalzen. Makroskopische Verfolgung der Entstehung einer Walztextur. Von E. Seidl und E. Schiebold. Mit 108 Abbildungen. (II.)

Wechselseitige Druckversuche an Aluminium. Von G. Sachs und E. Schiebold. Mit 39 Abbildungen. (II.)

Über die Gitterlagen in deformierten Metallkristallen und Kristallhaufwerken. Von G. Sachs und E. Schiebold. Mit 11 Abbildungen. (II.)

Das Verhalten von Industriekupfer bei der Beanspruchung, erläutert bei Kaltbehandlung. Bedeutung der Kristalltextur und der dadurch bedingten Verteilung von Kupferoxydul und Gasporen. Von E. Seidl und E. Schiebold. (Unter Mitwirkung von Charlotte Zierold.) Mit 60 Abbildungen. (III.)

Einige Beobachtungen an Aluminium und Aluminiumlegierungen. Von G. Sachs. Mit 14 Abbildungen. (III.)

Örtlicher Massenausgleich unter der Wirkung örtlich angreifender Kräfte in Technik und Geologie. Von G. Sachs und E. Seidl. Mit 24 Abb. (III.)

Graphische Bestimmung der Gitterorientierung von Kristallen mit Hilfe des Laue-Verfahrens. Gesetzmäßiges Wachstum von Aluminiumkristallen bei der Rekristallisation. Von E. Schiebold und G. Sachs. Mit 15 Abbild. (III.)

Walz- und Rekristallisationstextur regulärflächenzentrierter Metalle. I. Von Frhrn. v. Göler und G. Sachs. Mit 27 Abbildungen. (III.)

Rekristallisation und Entfestigung im Röntgenbild. Von G. Sachs und E. Schiebold. Mit 9 Abbildungen. (III.)

Versuche über die Rekristallisation von Metallen. I. Von R. Karnop und G. Sachs. Mit 35 Abbildungen. (III.)

Digitized by Google

Das Verhalten von Aluminiumkristallen bei Zugversuchen. I. Geometrische Grundlagen. Von Frhrn. v. Göler und G. Sachs. Mit 6 Abbildungen. (III.)

Das Verhalten von Aluminiumkristallen bei Zugversuchen. II. Experimenteller Teil. Von R. Karnop und G. Sachs. Mit 25 Abbildungen. (III.)

Der Einfluß der chemischen und kristallographischen Beschaffenheit des Gußmaterials auf das Verhalten beim Walzen, erläutert an Industrie-Aluminium, -Kupfer und -Zink. Von E. Seidl. Mit 24 Abbildungen. (V.)

Gefüge und Festigkeitseigenschaften von sehr reinem Aluminium. Von Frhrn. v. Göler und G. Sachs. Mit 14 Abbildungen. (V.)

Festigkeitseigenschaften von Metallkristallen. Von Frhrn. v. Göler und G. Sachs. Mit 17 Abbildungen. (V.)

Versuche zum Walz- und Schmiedevorgang. Von G. Sachs. Mit 21 Abbildungen. (V.)

Versuche über die Rekristallisation von Metallen. II. Von R. Karnop und G. Sachs. Mit 12 Abbildungen. (IX.)

Gefügeuntersuchungen an gegossenen Metallen und Legierungen. Von E. Schmid. Mit 5 Abbildungen. (X.)

Elastizität, statische Versuche und Dauerprüfung. Von W. Kuntze, G. Sachs und H. Sieglerschmidt. Mit 14 Abbildungen. (X.)

Die Prüfung von Seildrähten durch Zug- und Biegeversuche. Von G. Sachs und H. Sieglerschmidt. Mit 30 Abbildungen. (X.)

Über die Gußtextur von Metallen und Legierungen. Von F. C. Nix und E. Schmid. Mit 19 Abbildungen. (X.)

Walz- und Rekristallisationstextur regulärflächenzentrierter Metalle. III, IV u. V. Von Frhrn. v. Göler und G. Sachs. Mit 55 Abbildungen. (X.)

Aluminiumlegierungen

Das Verhalten der Aluminium-Zink-Legierungen. Von O. Bauer und W. Heidenhain. Mit 9 Abbildungen. (II.)

Einige Beobachtungen an Aluminium und Aluminiumlegierungen. Von G. Sachs. Mit 14 Abbildungen. (III.)

Die Eigenschaften des Scleronmetalls. Von O. Bauer und O. Vollenbruck. Mit 20 Abbildungen. (III.)

Der Aufbau der aluminiumreichen Silber-Aluminiumlegierungen. Von M. Hansen. Mit 21 Abbildungen. (V.)

Studien über den Zugversuch an kristallinen Stoffen. Von E. Schiebold und G. Richter. Mit 34 Abbildungen. (V.)

Die Bestimmung von Lithium in Scleronmetall und ähnlichen Aluminiumlegierungen. Von E. Schürmann und W. Böhm. (V.)

Versuche zum Duraluminproblem. Von E. Schmid und G. Wassermann. Mit 23 Abbildungen. (IX.)

Die Altershärtung der aluminiumreichen Silber-Aluminiumlegierungen. Von M. Hansen. Mit 6 Abbildungen. (IX.)

Das Fließen von Metallkristallen bei Torsion. Von R. Karnop und G. Sachs. Mit 7 Abbildungen. (IX.)

Digitized by Google

Festigkeitseigenschaften von Kristallen einer veredelbaren Aluminiumlegierung. Von R. Karnop und G. Sachs. Mit 20 Abbildungen. (IX.)

Gefügeuntersuchungen an gegossenen Metallen und Legierungen. Von E. Schmid. Mit 5 Abbildungen. (X.)

Die Veredelung einer Aluminiumlegierung im Röntgenbild. Von Frhrn. v. Göler und G. Sachs. Mit 25 Abbildungen. (X.)

Elastizität, statische Versuche und Dauerprüfung. Von W. Kuntze, G. Sachs und H. Sieglerschmidt. Mit 14 Abbildungen. (X.)

Die Prüfung von Seildrähten durch Zug- und Biegeversuche. Von G. Sachs und H. Sieglerschmidt. Mit 30 Abbildungen. (X.)

Über die Gußtextur von Metallen und Legierungen. Von F. C. Nix und E. Schmid. Mit 19 Abbildungen. (X.)

Kupfer

Das Verhalten einiger Metalle und Legierungen gegenüber der Einwirkung von Plastilin und freiem Schwefel. Von O. Bauer und H. Arndt. Mit 5 Abbildungen. (II.)

Über die Auslösung innerer Spannungen durch Glühen. Von M. Polanyi und G. Sachs. Mit 2 Abbildungen. (II.)

Über die Einwirkung von Zink, Zinn, Aluminium und Magnesium auf kupferoxydulhaltiges Kupfer. Von O. Bauer und H. Arndt. Mit 23 Abb. (III.)

Die Bedeutung des Gußgefüges für die Eigenschaften von Kupfer. (Einige Beispiele für Fehlstellen in verarbeitetem Kupfer.) Von O. Bauer und G. Sachs. Mit 44 Abbildungen. (III.)

Das Verhalten von Industriekupfer bei der Beanspruchung, erläutert bei Kaltbehandlung. Bedeutung der Kristalltextur und der dadurch bedingten Verteilung von Kupferoxydul und Gasporen. Von E. Seidl und E. Schiebold. (Unter Mitwirkung von Charlotte Zierold.) Mit 60 Abb. (III.)

Der Zugversuch am Flachstab. Von W. Kuntze und G. Sachs. Mit 18 Abbildungen. (III.)

Beitrag zum Härteproblem. Von G. Sachs. Mit 22 Abbildungen. (III.)

Walz- und Rekristallisationstextur regulärflächenzentrierter Metalle. II. Von Frhrn. v. Göler und G. Sachs. Mit 24 Abbildungen. (III.)

Versuche über die Rekristallisation von Metallen. I. Von R. Karnop und G. Sachs. Mit 35 Abbildungen. (III.)

Der Aufbau der Kupfer-Zinklegierungen. Von O. Bauer und M. Hansen. Mit 172 Abbildungen. (IV.)

Der Einfluß der chemischen und kristallographischen Beschaffenheit des Gußmaterials auf das Verhalten beim Walzen, erläutert an Industrie-Aluminium, -Kupfer und -Zink. Von E. Seidl. Mit 24 Abbildungen. (V.)

Abhängigkeit der elastischen Dehnungszahl α des Kupfers von der Vorbehandlung und Versuchsführung. Von W. Kuntze. Mit 21 Abbildungen. (V.)

Über die Prüfung der Zinnauflage von Kupferdrähten. Von E. Schürmann und H. Blumenthal. (V.)

Untersuchungen an Kupfer und Messing. Von O. Bauer, Frhrn. v. Göler und G. Sachs. Mit 23 Abbildungen. (IX.)

Digitized by Google

Gefügeuntersuchungen an gegossenen Metallen und Legierungen. Von E. Schmid. Mit 5 Abbildungen. (X.)

Elastizität, statische Versuche und Dauerprüfung. Von W. Kuntze, G. Sachs und H. Sieglerschmidt. Mit 14 Abbildungen. (X.)

Die Prüfung von Seildrähten durch Zug- und Biegeversuche. Von G. Sachs und H. Sieglerschmidt. Mit 30 Abbildungen. (X.)

Über die Gußtextur von Metallen und Legierungen. Von F. C. Nix und E. Schmid. Mit 19 Abbildungen. (X.)

Walz- und Rekristallisationstextur regulärflächenzentrierter Metalle. III, IV u. V. Von Frhrn. v. Göler und G. Sachs. Mit 55 Abbildungen. (X.)

Zugversuche an Kristallen von Kupfer und α-Messing. Von Frhrn. v. Göler und G. Sachs. Mit 30 Abbildungen. (X.)

Messing

Das Verhalten von Eisen, Rotguß und Messing gegenüber den in Kaliabwässern enthaltenen Salzen und Salzgemischen bei gewöhnlicher Temperatur und bei den im Dampfkessel herrschenden Temperaturen und Drücken. Untersuchungen, auf Veranlassung des Reichsgesundheitsamtes ausgeführt von O. Bauer unter Mitwirkung von O. Vogel und K. Zepf. Mit 47 Abbildungen. (I.)

Das Verhalten einiger Metalle und Legierungen gegenüber der Einwirkung von Plastilin und freiem Schwefel. Von O. Bauer und H. Arndt. Mit 5 Abbildungen. (II.)

Härtebestimmungen und Spannungsmessungen mit Zink-Kupfer-Legierungen. Von O. Bauer und O. Vollenbruck. Mit 8 Abbildungen. (III.)

Örtlicher Massenausgleich unter der Wirkung örtlich angreifender Kräfte in Technik und Geologie. Von G. Sachs und E. Seidl. Mit 24 Abbildungen. (III.)

Der Aufbau der Kupfer-Zinklegierungen. Von O. Bauer und M. Hansen. Mit 172 Abbildungen. (IV.)

Zug-Druckversuche an Messingkristallen (Bauschingereffekt). Von G. Sachs und H. Shoji. Mit 24 Abbildungen. (V.)

Der Nachweis innerer Spannungen in Stangen und Rohren. Von G. Sachs. Mit 8 Abbildungen. (V.)

Innere Spannungen in Metallen. Von G. Sachs. Mit 29 Abbildungen. (V.)

Die Eigenschaften des Hartmessings. Von O. Bauer und K. Memmler. Mit 76 Abbildungen. (VIII.)

Der Einfluß von dritten Metallen auf die Konstitution der Messinglegierungen. I. Der Einfluß von Blei. (Ein Beitrag zur Kenntnis des Dreistoff-Systems Blei-Zink-Kupfer.) Von O. Bauer und M. Hansen. Mit 5 Abb. (IX.)

Untersuchungen an Kupfer und Messing. Von O. Bauer, Frhrn. v. Göler und G. Sachs. Mit 23 Abbildungen. (IX.)

Untersuchungen an Kristallen von β-Messing. Von Frhrn. v. Göler und G. Sachs. Mit 12 Abbildungen. (IX.)

Mechanische Eigenschaften von Messingkristallen. Von M. Masima und G. Sachs. Mit 27 Abbildungen. (IX.)

Digitized by Google

Leitfähigkeit und Kaltverformung. Von M. Masima und G. Sachs. Mit 5 Abbildungen. (IX.)

Dichte u. Kaltverformung. Von M. Masima u. G. Sachs. Mit 3 Abb. (IX.)

Gefügeuntersuchungen an gegossenen Metallen und Legierungen. Von E. Schmid. Mit 5 Abbildungen. (X.)

Über die Gußtextur von Metallen und Legierungen. Von F. C. Nix und E. Schmid. Mit 19 Abbildungen. (X.)

Walz- und Rekristallisationstextur regulärflächenzentrierter Metalle. III, IV u. V. Von Frhrn. v. Göler und G. Sachs. Mit 55 Abbildungen. (X.)

Zugversuche an Kristallen von Kupfer und α-Messing. Von Frhrn. v. Göler und G. Sachs. Mit 30 Abbildungen. (X.)

Wärmeeffekte bei Dehnung von Messingkristallen. Von M. Masima und G. Sachs. Mit 1 Abbildung. (X.)

Bronze

Das Verhalten von Eisen, Rotguß und Messing gegenüber den in Kaliabwässern enthaltenen Salzen und Salzgemischen bei gewöhnlicher Temperatur und bei den im Dampfkessel herrschenden Temperaturen und Drücken. Untersuchungen, auf Veranlassung des Reichsgesundheitsamtes ausgeführt von O. Bauer unter Mitwirkung von O. Vogel und K. Zepf. Mit 47 Abb. (I.)

Die Härte der Kupfer-Zinn-Legierungen. Von O. Bauer und O. Vollenbruck. Mit 5 Abbildungen. (II.)

Das Verhalten einiger Metalle und Legierungen gegenüber der Einwirkung von Plastilin und freiem Schwefel. Von O. Bauer und H. Arndt. Mit 5 Abbildungen. (II.)

Der Aufbau des Rotgusses. Von M. Hansen. Mit 5 Abbildungen. (III.)

Über die Sättigungsgrenze des α (Cu-Sn)-Mischkristalls. Von M. Hansen. Mit 10 Abbildungen. (V.)

Zur Kenntnis der Zinnbronzen. Von M. Hansen. Mit 16 Abbildungen. (V.)

Elastizität, statische Versuche und Dauerprüfung. Von W. Kuntze, G. Sachs und H. Sieglerschmidt. Mit 14 Abbildungen. (X.)

Die Dehnung von Blechen. Von G. Sachs und W. Stenzel. Mit 21 Abbildungen. (X.)

Die Prüfung von Seildrähten durch Zug- und Biegeversuche. Von G. Sachs und H. Sieglerschmidt. Mit 30 Abbildungen. (X.)

Zur Probenahme und Analyse von Rotguß und anderen zur Seigerung neigenden Legierungen. Von O. Bauer und E. Deiss. Mit 2 Abbildungen. (X.)

Zink und Zinklegierungen

Das Verhalten der Aluminium-Zink-Legierungen. Von O. Bauer und W. Heidenhain. Mit 9 Abbildungen. (II.)

Das Verhalten einiger Metalle und Legierungen gegenüber der Einwirkung von Plastilin und freiem Schwefel. Von O. Bauer und H. Arndt. Mit 5 Abbildungen. (II.)

Digitized by Google

Festigkeitsuntersuchungen an Zink. Von G. Sachs. Mit 9 Abbildungen. (II.)

Das Verhalten von Industriekupfer bei der Beanspruchung, erläutert bei Kaltbehandlung. Bedeutung der Kristalltextur und der dadurch bedingten Verteilung von Kupferoxydul und Gasporen. Von E. Seidl und E. Schiebold. (Unter Mitwirkung von Charlotte Zierold.) Mit 60 Abb. (III.)

Der Aufbau der Kupfer-Zinklegierungen. Von O. Bauer und M. Hansen. Mit 172 Abbildungen. (IV.)

Zur Entstehung des Gußgefüges. Von Frhrn. v. Göler und G. Sachs. Mit 23 Abbildungen. (V.)

Der Einfluß der chemischen und kristallographischen Beschaffenheit des Gußmaterials auf das Verhalten beim Walzen, erläutert an Industrie-Aluminium, -Kupfer und -Zink. Von E. Seidl. Mit 24 Abbildungen. (V.)

Die Ausdehnung des Zinks bei steigenden Temperaturen. Von O. Bauer und H. Sieglerschmidt. Mit 1 Abbildung. (V.)

Über die mechanische Zwillingsbildung von Zinkkristallen. Von E. Schmid und G. Wassermann. Mit 11 Abbildungen. (V.)

Einfluß der Temperatur und der Abkühlungsverhältnisse beim Gießen von Zink. Von O. Bauer und P. Zunker. Mit 46 Abbildungen. (X.)

Gefügeuntersuchungen an gegossenen Metallen und Legierungen. Von E. Schmid. Mit 5 Abbildungen. (X.)

Über die Gußtextur von Metallen und Legierungen. Von F. C. Nix und E. Schmid. Mit 19 Abbildungen. (X.)

Über die Textur gezogener Magnesium- und Zinkdrähte. Von E. Schmid und G. Wassermann. Mit 5 Abbildungen. (X.)

Zur Frage der Plastizität. Verformung bei tiefen Temperaturen. Von M. Polanyi und E. Schmid. Mit 5 Abbildungen. (X.)

Eisen und Stahl

Das Verhalten von Eisen, Rotguß und Messing gegenüber den in Kaliabwässern enthaltenen Salzen und Salzgemischen bei gewöhnlicher Temperatur und bei den im Dampfkessel herrschenden Temperaturen und Drücken. Untersuchungen, auf Veranlassung des Reichsgesundheitsamtes ausgeführt von O. Bauer unter Mitwirkung von O. Vogel und K. Zepf. Mit 47 Abb. (I.)

Seigerungen und Festigkeitseigenschaften. Von G. Fiek und G. Sachs. Mit 6 Abbildungen. (III.)

Der Zugversuch am Flachstab. Von W. Kuntze und G. Sachs. Mit 18 Abbildungen. (III.)

Beitrag zum Härteproblem. Von G. Sachs. Mit 22 Abbildungen. (III.)

Örtlicher Massenausgleich unter der Wirkung örtlich angreifender Kräfte in Technik und Geologie. Von G. Sachs und E. Seidl. Mit 24 Abbildungen. (III.)

Das Gußeisen als Werkstoff und Baustoff. Von O. Bauer. Mit 19 Abb. (V.)

Flußstähle mit geringer Alterungseigenschaft. Von O. Bauer. Mit 22 Abb. (V.)

Versuche zum Walz- und Schmiedevorgang. Von G. Sachs. Mit 21 Abb. (V.)

Der Einfluß von Kohlenstoff, Mangan und Silizium auf das Wachsen des Gußeisens. Von O. Bauer und K. Sipp. Mit 69 Abbildungen. (IX.)

Digitized by Google

Der Einfluß kleiner Zusätze von Kupfer und Nickel auf die Wärmeausdehnung und auf das Wachsen des Gußeisens. Von O. Bauer und H. Sieglerschmidt. Mit 26 Abbildungen. (IX.)

Zur Kenntnis der Streckgrenze von Stahl. Von W. Kuntze u. G. Sachs. (IX.)

Gefügeuntersuchungen an gegossenen Metallen und Legierungen. Von E. Schmid. Mit 5 Abbildungen. (X.)

Schmiedespannungen, Vergütungsspannungen und Wärmespannungen. Von G. Sachs. Mit 22 Abbildungen. (X.)

Der Einfluß des Einwalzens von Rohren auf gewöhnliches Kesselblech und auf Izett-Blech. Von O. Bauer und H. Arndt. Mit 16 Abbildungen. (X.)

Elastizität, statische Versuche und Dauerprüfung. Von W. Kuntze, G. Sachs und H. Sieglerschmidt. Mit 14 Abbildungen. (X.)

Die Prüfung von Seildrähten durch Zug- und Biegeversuche. Von G. Sachs und H. Sieglerschmidt. Mit 30 Abbildungen. (X.)

Über die Gußtextur von Metallen und Legierungen. Von F. C. Nix und E. Schmid. Mit 19 Abbildungen. (X.)

Sonstige

Antimon: Über ein Verfahren zur Bestimmung kleinster Antimonmengen im Kupfer. Von H. Blumenthal. (V.)

Blei: Das Verhalten einiger Metalle und Legierungen gegenüber der Einwirkung von Plastilin und freiem Schwefel. Von O. Bauer und H. Arndt. Mit 5 Abbildungen. (II.)

Gefügeuntersuchungen an gegossenen Metallen und Legierungen. Von E. Schmid. Mit 5 Abbildungen. (X.)

Über die Gußtextur von Metallen und Legierungen. Von F. C. Nix und E. Schmid. Mit 19 Abbildungen. (X.)

Cadmium: Über die Dehnung von Cadmiumkristallen. Von W. Boas und E. Schmid. Mit 26 Abbildungen. (IX.)

Gefügeuntersuchungen an gegossenen Metallen und Legierungen. Von E. Schmid. Mit 5 Abbildungen. (X.)

Über die Gußtextur von Metallen und Legierungen. Von F. C. Nix und E. Schmid. Mit 19 Abbildungen. (X.)

Zur Frage der Plastizität. Verformung bei tiefen Temperaturen. Von M. Polanyi und E. Schmid. Mit 5 Abbildungen. (X.)

Über die Temperaturabhängigkeit der kritischen Schubspannung von Cadmiumkristallen. Von W. Boas und E. Schmid. Mit 4 Abbildungen. (X.)

Gold- und Goldlegierungen: Walz- und Rekristallisationstextur regulärflächenzentrierter Metalle. III und IV. Von Frhrn. v. Göler und G. Sachs. Mit 39 Abbildungen. (X.)

Kobaltlegierungen: Zur Analyse der Stellite, Akrite und ähnlich zusammengesetzter Legierungen. Von E. Deiss. (V.)

Lithium: Die Bestimmung von Lithium in Scleronmetall und ähnlichen Aluminiumlegierungen. Von E. Schürmann und W. Böhm. (V.)

Digitized by Google

Magnesiumlegierungen: Über die magnesiumreichen Kupfermagnesiumlegierungen. Von M. Hansen. Mit 14 Abbildungen. (III.)

Gefügeuntersuchungen an gegossenen Metallen und Legierungen. Von E. Schmid. Mit 5 Abbildungen. (X.)

Elastizität, statische Versuche und Dauerprüfung. Von W. Kuntze, G. Sachs und H. Sieglerschmidt. Mit 14 Abbildungen. (X.)

Die Prüfung von Seildrähten durch Zug- und Biegeversuche. Von G. Sachs und H. Sieglerschmidt. Mit 30 Abbildungen. (X.)

Über die Gußtextur von Metallen und Legierungen. Von F. C. Nix und E. Schmid. Mit 19 Abbildungen. (X.)

Über die Textur gezogener Magnesium- und Zinkdrähte. Von E. Schmid und G. Wassermann. Mit 5 Abbildungen. (X.)

Mangan: Das Verhalten einiger Metalle und Legierungen gegenüber der Einwirkung von Plastilin und freiem Schwefel. Von O. Bauer und H. Arndt. Mit 5 Abbildungen. (II.)

Minerale: Über elastische Hysteresis und innere Spannungen in gebogenen Steinsalzkristallen. Von M. Polanyi und G. Sachs. Mit 10 Abbildungen. (II.)

Örtlicher Massenausgleich unter der Wirkung örtlich angreifender Kräfte in Technik und Geologie. Von G. Sachs und E. Seidl. Mit 24 Abbildungen. (III.)

Festigkeit und Plastizität von Steinsalzkristallen. Von E. Schmid und O. Vaupel. Mit 13 Abbildungen. (X.)

Nickel und Nickellegierungen: Was ist Ermüdung? Von K. Laute und G. Sachs. Mit 2 Abbildungen. (IX.)

Walz- und Rekristallisationstextur regulärflächenzentrierter Metalle. III u. IV. Von Frhrn. v. Göler und G. Sachs. Mit 39 Abbildungen. (X.)

Silber und Silberlegierungen: Festigkeitseigenschaften und Struktur einiger begrenzter Mischkristallreihen. Untersuchungen an den silberreichen festen Lösungen der Systeme Ag-Mg, Ag-Al, Ag-Sb, Ag-Sn, Ag-Zn, Ag-Cd und Ag-Mn. Von F. Saeftel und G. Sachs. Mit 43 Abbildungen. (II.)

Die elektrische Leitfähigkeit von Silberlegierungen. Von M. Hansen und G. Sachs. Mit 3 Abbildungen. (V.)

Die Löslichkeit von Kupfer und Silber. Von M. Hansen. Mit 13 Abbild. (X.)

Walz- und Rekristallisationstextur regulärflächenzentrierter Metalle. III, IV u. V. Von Frhrn. v. Göler und G. Sachs. Mit 17 Abbildungen. (X.

Wolfram: Innere Spannungen im Röntgenbild. Von Frhrn. v. Göler und G. Sachs. Mit 2 Abbildungen. (V.)

Zinn: Das Verhalten einiger Metalle und Legierungen gegenüber der Einwirkung von Plastilin und freiem Schwefel. Von O. Bauer und H. Arndt. Mit 5 Abbildungen. (II.)

Über die Prüfung der Zinnauflage von Kupferdrähten. Von E. Schürmann und H. Blumenthal. (V.)

Digitized by Google

II. Organische Stoffe

Sonderheft VI

Papier und Pappe

Beitrag zur ältesten Geschichte der Papiererzeugung. (Ein Papier aus dem 3. Jahrhundert n. Chr.) Von B. Schulze. Mit 6 Abbildungen.

Einfluß des Wasserzeichens auf die Festigkeitseigenschaften von Wertzeichenpapieren. Von R. Korn.

Einfluß höherer Wärmegrade auf die Festigkeitseigenschaften von Sackpapier. Von W. Herzberg.

Über einige Versuche mit dem Berstdruckprüfer Schopper-Dalén bei 8,04 und 100 qcm Einspannfläche. Von P. Wilke. Mit 1 Abbildung.

Erfahrungen bei der Prüfung von Rohdachpappe. Von W. Herzberg.

Ermittelung der Lichtechtheit farbiger Papiere durch Belichtung mit der Quarz-Quecksilberlampe. Von G. Dalén und P. Wilke.

Sklerenchym in Strohzellstoffen. Von R. Korn. Mit 4 Abbildungen.

Sklerenchymflecke in Papier. Von R. Korn. Mit 2 Abbildungen.

Die Sutermeister-Lösung in der Papiermikroskopie. Von R. Korn.

Metallschädliche Bestandteile in Papier. Von W. Herzberg. Mit 2 Abbildungen.

Quantitative Bestimmung von Holzschliff in Papier auf chemischem Wege nach Cross, Bevan und Briggs. Von R. Korn. Mit 3 Abbildungen.

Quantitative Bestimmung von Wolle in Roh- und Wollfilzpappen auf chemischem Wege. Von B. Schulze.

Schäden an Papierfilzen. Von G. Herzog. Mit 4 Abbildungen.

Siegellackprüfungen. Von R. Nitsche. Mit 3 Abbildungen.

Textilien

Über den Einfluß der Luftfeuchtigkeit auf die Eigenschaften der Faserstoffe und über Messung der Luftfeuchtigkeit. Von G. Herzog. Mit 3 Abbildungen.

Die Wirkung atmosphärischer Einflüsse auf Faserstoffe. Von H. Sommer. Mit 22 Abbildungen.

Der Nachweis chemischer Schädigung bei Erzeugnissen aus Pflanzenfasern. Von H. Sommer.

Zur Frage der Gleichmäßigkeitsprüfung von Gespinsten. Von H. Sommer. Mit 1 Abbildung.

Die technologischen Eigenschaften der nach dem Einkardenverfahren hergestellten Jutegarne. Von H. Sommer.

Schäden an Papierfilzen. Von G. Herzog. Mit 4 Abbildungen.

Über den Wert des Glühverfahrens bei der Bestimmung des Baumwollgehalts in Asbesterzeugnissen. Von H. Sommer.

Digitized by Google

Öle

Katalytische Bildung von Erdölkohlenwasserstoffen aus Fetten. Von J. Marcusson und W. Bauerschäfer.

Autoxydation der Mineralöle. Von J. Marcusson und W. Bauerschäfer.

Die Vorgänge beim Erhitzen und Eintrocknen fetter Öle. Von J. Marcusson. Mit 1 Abbildung.

Nachweis von Holzöl in Ölgemischen. Von J. Marcusson.

Vereinheitlichung der Ölprüfungsverfahren. Von H. Schlüter. Mit 8 Abbildungen.

Die Analyse der Kaltasphalte. Von J. Marcusson.

Der chemische Aufbau der Braunkohlen. Von J. Marcusson.

Lacke und Farben

Ermittelung der Lichtechtheit farbiger Papiere durch Belichtung mit der Quarz-Quecksilberlampe. Von G. Dalén und P. Wilke.

Einige Neuerungen bei photographischen Kopierprozessen. Von H. Frederking.

Siegellackprüfungen. Von R. Nitsche. Mit 3 Abbildungen.

III. Baustoffe

Sonderheft VII

Bindemittel

Die geschichtliche Entwicklung der Zementprüfung nach den Normen. Von H. Burchartz. Mit 16 Abbildungen.

Ergebnisse der Prüfung hochwertiger Portlandzemente nach den Normen. Von H. Burchartz. Mit 2 Abbildungen.

Tonerdezement. Von H. W. Gonell.

Über die Ursache der Abbindestörungen bei Tonerdezement. Von H.W.Gonell.

Versuche mit Hochofenzement. Abschließender Bericht, erstattet von H. Burchartz. Mit 2 Abbildungen.

Über die Erkennung von Hochofenschlacke in Zementen. Von H. W. Gonell. Mit 13 Abbildungen.

Wasseraufnahme von Portlandzement bei Luftlagerung. Mit 2 Abbildungen. Von V. Rodt.

Beitrag zur Frage der Beeinflussung des Abbindens und Erhärtens von Portlandzement durch Zusätze zum Anmachewasser, insbesondere durch Zuckerlösung. (Vorläufige Mitteilung.) Von H. W. Gonell. Mit 10 Abbildungen.

Versuche über den Einfluß von Kalischachtlauge auf das Abbinden und Erhärten von Zement. Von H. Burchartz.

Kalkpulver als Ersatz für Kalkteig in der Traßnormenmischung. Von H. Burchartz. Mit 3 Abbildungen.

Digitized by Google

Mörtel und Beton

Kann Traß durch anderes Steinmehl ersetzt werden? Von H. Burchartz. Mit 2 Abbildungen.

Der Einfluß des Zusatzes von Gesteins- und Tonmehl auf die Erhärtung bzw. Festigkeit von Zement- und Kalkmörtel. Von H. Burchartz. Mit 1 Abbildung.

Dichtigkeit und Festigkeit von Kiesbeton im Vergleich zu Kiessplittbeton. Von H. Burchartz. Mit 2 Abbildungen.

Beitrag zur Feststellung der mechanischen Zusammensetzung von Mörtel und Beton. Mischungsverhältnis von Bindemittel zum Zuschlagstoff. Von V. Rodt.

Vergleich der Würfelfestigkeit von Beton zu der Druckfestigkeit des Betons im Bauwerk. Von H. Burchartz. Mit 2 Abbildungen.

Etwas über Mörtelsande. Von H. Burchartz. Mit 4 Abbildungen.

Die Einwirkung von Schwefelwasserstoff auf Kalkmörtel, Zementmörtel und Beton. Von V. Rodt.

Wasser

Beitrag zur Bestimmung und Auswertung der Kohlensäure im Wasser. (Eine kritische Studie.) Von V. Rodt. Mit 3 Abbildungen.

Mauersteine

Das Verfahren zur Prüfung von Mauersteinen auf Druckfestigkeit. Von H. Burchartz. Mit 6 Abbildungen.

Steinholz

Die Ursachen des Rissigwerdens von Steinholzfußbodenbelag. Von H. Burchartz. Mit 4 Abbildungen.

Hochofenschlacke als Gleisbettungsstoff

Versuche mit Hochofenstückschlacke als Gleisbettungsstoff. Von H. Burchartz und G. Saenger. Mit 12 Abbildungen.

Bestimmung der Kornzusammensetzung

Vergleichsversuche mit Loch- und Maschensieben. Von G. Saenger. Mit 2 Abbildungen.

Versuche zur Bestimmung der Mahlfeinheit von Kohlenstaub. Von H. Burchartz. Mit 6 Abbildungen.

Ein Windsichtverfahren zur Bestimmung der Kornzusammensetzung staubförmiger Stoffe. Von H. W. Gonell. Mit 14 Abbildungen.

Zur Frage der Ausscheidung der Asche aus Kohlenstaub. Von H. W. Gonell. Mit 7 Abbildungen.

Digitized by Google

B. Inhaltsverzeichnis der Sonderhefte I-X

Sonderheft I:

Mit 47 Abbildungen. III, 62 Seiten. 1925. Unveränderter Neudruck 1929. RM 6.—

Das Verhalten von Eisen, Rotguß und Messing gegenüber den in Kaliabwässern enthaltenen Salzen und Salzgemischen bei gewöhnlicher Temperatur und bei den im Dampfkessel herrschenden Temperaturen und Drücken. Untersuchungen, auf Veranlassung des Reichsgesundheitsamtes ausgeführt von O. BAUER unter Mitwirkung von O. VOGEL und K. ZEPF. Mit 47 Abbildungen.

Sonderheft II:

Mit 316 Abbildungen. II, 279 Seiten. 1926. RM 24.—

Das Verhalten der Aluminium-Zink-Legierungen. Von O. BAUER u. W. HEIDENHAIN. Mit 9 Abbildungen.

Die Härte der Kupfer-Zinn-Legierungen. Von O. BAUER u. O. VOLLENBRUCK. Mit 5 Abbildungen.

Das Verhalten einiger Metalle und Legierungen gegenüber der Einwirkung von Plastilin und freiem Schwefel. Von O. BAUER u. H. ARNDT. Mit 5 Abbildungen.

Festigkeitsuntersuchungen an Zink. Von G. SACHS. Mit 9 Abbildungen.

Festigkeitseigenschaften und Struktur einiger begrenzter Mischkristallreihen. Untersuchungen an den silberreichen festen Lösungen der Systeme Ag-Mg, Ag-Al, Ag-Sb, Ag-Sn, Ag-Zn, Ag-Cd und Ag-Mn. Von F. SAEFTEL und G. SACHS. Mit 43 Abbildungen.

Die Verfestigungsfrage vom Standpunkt der Röntgenforschung. Von E. SCHIEBOLD. Mit 35 Abbildungen.

Die Härtung der Metalle. Von G. SACHS. Mit 23 Abbildungen.

Zur Analyse des Zerreißversuches. Von G. SACHS. Mit 10 Abbildungen.

Das Verhalten inhomogener Aluminium-Gußblöckchen beim Kaltwalzen. Makroskopische Verfolgung der Entstehung einer Walztextur. Von E. SEIDL und E. SCHIEBOLD. Mit 108 Abbildungen.

Wechselseitige Druckversuche an Aluminium. Von G. SACHS und E. SCHIEBOLD. Mit 39 Abbildungen.

Über die Auslösung innerer Spannungen durch Glühen. Von M. POLANYI und G. SACHS. Mit 2 Abbildungen.

Über elastische Hysteresis und innere Spannungen in gebogenen Steinsalzkristallen. Von M. POLANYI und G. SACHS. Mit 10 Abbildungen.

Digitized by Google

Über graphische Auswertung von Röntgenphotogrammen. Von E. SCHIEBOLD. Mit 7 Abbildungen.

Über die Gitterlagen in deformierten Metallkristallen und Kristallhaufwerken. Von G. SACHS und E. SCHIEBOLD. Mit 11 Abbildungen.

Der Aufbau der Kristalle. Von K. WEISSENBERG.

Sonderheft III:

Mit 434 Abbildungen. II, 243 Seiten. 1927.

RM 24.—

Über die Einwirkung von Zink, Zinn, Aluminium und Magnesium auf kupferoxydulhaltiges Kupfer. Von O. BAUER und H. ARNDT. Mit 23 Abbildungen.

Der Aufbau des Rotgusses. Von M. HANSEN. Mit 5 Abbildungen.

Über die magnesiumreichen Kupfer-Magnesiumlegierungen. Von M. HANSEN. Mit 14 Abbildungen.

Die Bedeutung des Gußgefüges für die Eigenschaften von Kupfer. (Einige Beispiele für Fehlstellen in verarbeitetem Kupfer.) Von O. BAUER und G. SACHS. Mit 44 Abbildungen.

Das Verhalten von Industriekupfer bei der Beanspruchung, erläutert bei Kaltbehandlung. Bedeutung der Kristalltextur und der dadurch bedingten Verteilung von Kupferoxydul und Gasporen. Von E. SEIDL und E. SCHIEBOLD. (Unter Mitwirkung von CHARLOTTE ZIERBLD, Berlin.) Mit 60 Abbildungen.

Härtebestimmungen und Spannungsmessungen mit Zink-Kupfer-Legierungen. Von O. BAUER und O. VOLLENBRUCK. Mit 8 Abbildungen.

Einige Beobachtungen an Aluminium und Aluminiumlegierungen. Von G. SACHS. Mit 14 Abbildungen.

Die Eigenschaften des Scleronmetalls. Von O. BAUER und O. VOLLENBRUCK. Mit 20 Abbildungen.

Seigerungen und Festigkeitseigenschaften. Von G. FIEK und G. SACHS. Mit 6 Abbildungen.

Werkstoffprüfung und Werkstoffeigenschaften. Bemerkungen über die Bedeutung des Zugversuches. Von G. SACHS.

Der Zugversuch am Flachstab. Von W. KUNTZE und G. SACHS. Mit 18 Abbildungen.

Beitrag zum Härteproblem. Von G. SACHS. Mit 22 Abbildungen.

Örtlicher Massenausgleich unter der Wirkung örtlich angreifender Kräfte in Technik und Geologie. Von G. SACHS und E. SEIDL. Mit 24 Abbildungen.

Anwendung der Röntgenstrahlen für die Werkstoffuntersuchung. Von G. SACHS. Mit 35 Abbildungen.

Graphische Bestimmung der Gitterorientierung von Kristallen mit Hilfe des Laue-Verfahrens. Gesetzmäßiges Wachstum von Aluminiumkristallen bei der Rekristallisation. Von E. SCHIEBOLD u. G. SACHS. Mit 15 Abbildungen.

Walz- und Rekristallisationstextur regulärflächenzentrierter Metalle. I. Von FRHRN. v. GÖLER und G. SACHS. Mit 27 Abbildungen.

Digitized by Google

Walz- und Rekristallisationstextur regulärflächenzentrierter Metalle. II. Von FRHRN. v. GÖLER und G. SACHS. Mit 24 Abbildungen.

Rekristallisation und Entfestigung im Röntgenbild. Von G. SACHS und E. SCHIEBOLD. Mit 9 Abbildungen

Versuche über die Rekristallisation von Metallen. I. Von R. KARNOP und G. SACHS. Mit 35 Abbildungen.

Das Verhalten von Aluminiumkristallen bei Zugversuchen. I. Geometrische Grundlagen. Von FRHRN. v. GÖLER und G. SACHS. Mit 6 Abbildungen.

Das Verhalten von Aluminiumkristallen bei Zugversuchen. II. Experimenteller Teil. Von R. KARNOP und G. SACHS. Mit 25 Abbildungen.

Kristallbau und chemische Konstitution. (I. und III. Mitteilung.) Von K. WEISSENBERG.

Sonderheft IV:

Mit 172 Abbildungen. IV, 150 Seiten. 1927.

RM 18.—; gebunden RM 20.—

Der Aufbau der Kupfer-Zinklegierungen. Von O. BAUER und M. HANSEN. Mit 172 Abbildungen.

Sonderheft V:

Mit 372 Abbildungen. II, 189 Seiten. 1929.

RM 26.—

Das Gußeisen als Werkstoff und Baustoff. Von O. BAUER. Mit 19 Abbildungen.

Flußstähle mit geringer Alterungseigenschaft. Von O. BAUER. Mit 22 Abbildungen.

Über die Sättigungsgrenze des α (Cu-Sn)-Mischkristalls. Von M. HANSEN. Mit 10 Abbildungen.

Zur Kenntnis der Zinnbronzen. Von M. HANSEN. Mit 16 Abbildungen.

Der Aufbau der aluminiumreichen Silber-Aluminiumlegierungen. Von M. HANSEN. Mit 21 Abbildungen.

Zur Entstehung des Gußgefüges. Von FRHRN. v. GÖLER und G. SACHS. Mit 23 Abbildungen.

Der Einfluß der chemischen und kristallographischen Beschaffenheit des Gußmaterials auf das Verhalten beim Walzen, erläutert an Industrie-Aluminium, -Kupfer und -Zink. Von E. SEIDL. Mit 24 Abbildungen.

Gefüge und Festigkeitseigenschaften von sehr reinem Aluminium. Von FRHRN. v. GÖLER und G. SACHS. Mit 14 Abbildungen.

Festigkeitseigenschaften von Metallkristallen. Von FRHRN. v. GÖLER und G. SACHS. Mit 17 Abbildungen.

Die Ausdehnung des Zinks bei steigenden Temperaturen. Von O. BAUER und H. SIEGLERSCHMIDT. Mit 1 Abbildung.

Über die mechanische Zwillingsbildung von Zinkkristallen. Von E. SCHMID und G. WASSERMANN. Mit 11 Abbildungen.

Digitized by Google

Studien über den Zugversuch an kristallinen Stoffen. Von E. SCHIEBOLD und G. RICHTER. Mit 34 Abbildungen.

Abhängigkeit der elastischen Dehnungszahl α des Kupfers von der Vorbehandlung und Versuchsführung. Von W. KUNTZE. Mit 21 Abbildungen.

Zug-Druckversuche an Messingkristallen (Bauschingereffekt). Von G. SACHS und H. SHOJI. Mit 24 Abbildungen.

Kerbwirkung in Technik und Wissenschaft. Von E. SEIDL. Mit 16 Abbildungen.

Versuche zum Walz- u. Schmiedevorgang. Von G. SACHS. Mit 21 Abbildungen.

Zur Theorie des Ziehvorganges. Von G. SACHS. Mit 2 Abbildungen.

Der Nachweis innerer Spannungen in Stangen und Rohren. Von G. SACHS. Mit 8 Abbildungen.

Innere Spannungen in Metallen. Von G. SACHS. Mit 29 Abbildungen.

Innere Spannungen im Röntgenbild. Von FRHRN. v. GÖLER und G. SACHS. Mit 2 Abbildungen.

Die elektrische Leitfähigkeit von Silberlegierungen. Von M. HANSEN und G. SACHS. Mit 3 Abbildungen.

Zur Analyse der Stellite, Akrite und ähnlich zusammengesetzter Legierungen. Von E. DEISS.

Die Bestimmung von Lithium in Scleronmetall und ähnlichen Aluminiumlegierungen. Von E. SCHÜRMANN und W. BÖHM.

Über die Prüfung der Zinnauflage von Kupferdrähten. Von E. SCHÜRMANN und H. BLUMENTHAL.

Über ein Verfahren zur Bestimmung kleinster Antimonmengen im Kupfer. Von H. BLUMENTHAL.

Über das Ferrohydroxyd (Eisen-2-hydroxyd). Von E. DEISS und G. SCHIKORR. Mit 4 Abbildungen.

Symmetriegruppen mit zwei Translationen. Von A. BURGENI und K. WEISSENBERG. Mit 30 Abbildungen.

Sonderheft VI:

Mit 60 Abbildungen. II, 92 Seiten. 1929.

RM 13.—

Beitrag zur ältesten Geschichte der Papiererzeugung. (Ein Papier aus dem 3. Jahrhundert n. Chr.) Von B. SCHULZE. Mit 6 Abbildungen.

Einfluß des Wasserzeichens auf die Festigkeitseigenschaften von Wertzeichenpapieren. Von R. KORN.

Einfluß höherer Wärmegrade auf die Festigkeitseigenschaften von Sackpapier. Von W. HERZBERG.

Über einige Versuche mit dem Berstdruckprüfer Schopper-Dalén bei 8,04 und 100 qcm Einspannfläche. Von P. WILKE. Mit 1 Abbildung.

Erfahrungen bei der Prüfung von Rohdachpappe. Von W. HERZBERG.

Ermittelung der Lichtechtheit farbiger Papiere durch Belichtung mit der Quarz-Quecksilberlampe. Von G. DALEN und P. WILKE.

Digitized by Google

Sklerenchym in Strohzellstoffen. Von R. KORN. Mit 4 Abbildungen.

Sklerenchymflecke in Papier. Von R. KORN. Mit 2 Abbildungen.

Die Sutermeister-Lösung in der Papiermikroskopie. Von R. KORN.

Metallschädliche Bestandteile in Papier. Von W. HERZBERG. Mit 2 Abbildungen.

Quantitative Bestimmung von Holzschliff in Papier auf chemischem Wege nach Cross, Bevan und Briggs. Von R. KORN. Mit 3 Abbildungen.

Quantitative Bestimmung von Wolle in Roh- und Wollfilzpappen auf chemischem Wege. Von B. SCHULZE.

Über den Einfluß der Luftfeuchtigkeit auf die Eigenschaften der Faserstoffe und über Messung der Luftfeuchtigkeit. Von G. HERZOG. Mit 3 Abbildungen.

Die Wirkung atmosphärischer Einflüsse auf Faserstoffe. Von H. SOMMER. Mit 22 Abbildungen.

Der Nachweis chemischer Schädigung bei Erzeugnissen aus Pflanzenfasern. Von H. SOMMER.

Zur Frage der Gleichmäßigkeitsprüfung von Gespinsten. Von H. SOMMER. Mit 1 Abbildung.

Die technologischen Eigenschaften der nach dem Einkardenverfahren hergestellten Jutegarne. Von H. SOMMER.

Schäden an Papierfilzen. Von G. HERZOG. Mit 4 Abbildungen.

Über den Wert des Glühverfahrens bei der Bestimmung des Baumwollgehalts in Asbesterzeugnissen. Von H. SOMMER.

Einige Neuerungen bei photographischen Kopierprozessen. Von H. FREDERKING.

Katalytische Bildung von Erdölkohlenwasserstoffen aus Fetten. Von J. MARCUSSON und W. BAUERSCHÄFER.

Autoxydation der Mineralöle. Von J. MARCUSSON und W. BAUERSCHÄFER.

Die Vorgänge beim Erhitzen und Eintrocknen fetter Öle. Von J. MARCUSSON. Mit 1 Abbildung.

Nachweis von Holzöl in Ölgemischen. Von J. MARCUSSON.

Vereinheitlichung der Ölprüfungsverfahren. Von H. SCHLÜTER. Mit 8 Abbildungen.

Die Analyse der Kaltasphalte. Von J. MARCUSSON.

Der chemische Aufbau der Braunkohlen. Von J. MARCUSSON.

Siegellackprüfungen. Von R. NITSCHE. Mit 3 Abbildungen.

Sonderheft VII:

Mit 113 Abbildungen. II, 125 Seiten. 1929.

RM 19.—

Die geschichtliche Entwicklung der Zementprüfung nach den Normen. Von H. BURCHARTZ. Mit 16 Abbildungen.

Ergebnisse der Prüfung hochwertiger Portlandzemente nach den Normen. Von H. BURCHARTZ. Mit 2 Abbildungen.

Digitized by Google

Tonerdezement. Von H. W. GONELL.

Über die Ursache der Abbindestörungen bei Tonerdezement. Von H. W. GONELL.

Versuche mit Hochofenzement. Abschließender Bericht, erstattet von H. BURCHARTZ. Mit 2 Abbildungen.

Über die Erkennung von Hochofenschlacke in Zementen. Von H. W. GONELL. Mit 13 Abbildungen.

Wasseraufnahme von Portlandzement bei Luftlagerung. Von V. RODT. Mit 2 Abbildungen.

Kann Traß durch anderes Steinmehl ersetzt werden? Von H. BURCHARTZ. Mit 2 Abbildungen.

Der Einfluß des Zusatzes von Gesteins- und Tonmehl auf die Erhärtung bzw. Festigkeit von Zement- und Kalkmörtel. Von H. BURCHARTZ. Mit 1 Abbildung.

Dichtigkeit und Festigkeit von Kiesbeton im Vergleich zu Kiessplittbeton. Von H. BURCHARTZ. Mit 2 Abbildungen.

Beitrag zur Feststellung der mechanischen Zusammensetzung von Mörtel und Beton. Mischungsverhältnis von Bindemittel zum Zuschlagstoff. Von V. RODT.

Vergleich der Würfelfestigkeit von Beton zu der Druckfestigkeit des Betons im Bauwerk. Von H. BURCHARTZ. Mit 2 Abbildungen.

Etwas über Mörtelsande. Von H. BURCHARTZ. Mit 4 Abbildungen.

Beitrag zur Frage der Beeinflussung des Abbindens und Erhärtens von Portlandzement durch Zusätze zum Anmachewasser, insbesondere durch Zuckerlösung. (Vorläufige Mitteilung.) Von H. W. GONELL. Mit 10 Abbildungen.

Versuche über den Einfluß von Kalischachtlauge auf d s Abbinden und Erhärten von Zement. Von H. BURCHARTZ.

Die Einwirkung von Schwefelwasserstoff auf Kalkmörtel, Zementmörtel und Beton. Von V. RODT.

Kalkpulver als Ersatz für Kalkteig in der Traßnormenmischung. Von H. BURCHARTZ. Mit 3 Abbildungen.

Beitrag zur Bestimmung und Auswertung der Kohlensäure im Wasser. (Eine kritische Studie.) Von V. RODT. Mit 3 Abbildungen.

Das Verfahren zur Prüfung von Mauersteinen auf Druckfestigkeit. Von H. BURCHARTZ. Mit 6 Abbildungen.

Die Ursachen des Rissigwerdens von Steinholzfußbodenbelag. Von H. BURCHARTZ. Mit 4 Abbildungen.

Versuche mit Hochofenstückschlacke als Gleisbettungsstoff. Von H. BURCHARTZ und G. SAENGER. Mit 12 Abbildungen.

Vergleichsversuche mit Loch- und Maschensieben. Von G. SAENGER. Mit 2 Abbildungen.

Versuche zur Bestimmung der Mahlfeinheit von Kohlenstaub. Von H. BURCHARTZ. Mit 6 Abbildungen.

Ein Windsichtverfahren zur Bestimmung der Kornzusammensetzung staubförmiger Stoffe. Von H. W. GONELL. Mit 14 Abbildungen.

Zur Frage der Ausscheidung der Asche aus Kohlenstaub. Von H. W. GONELL. Mit 7 Abbildungen.

Digitized by Google

Sonderheft VIII:
Mit 76 Abbildungen. 58 Seiten. 1929.
RM 13.50; gebunden RM 15.50

Die Eigenschaften des Hartmessings. Von O. BAUER und K. MEMMLER. Mit 76 Abbildungen.

Sonderheft IX:
Mit 370 Abbildungen. Etwa 160 Seiten.
Erscheint im September 1929.

Der Einfluß von dritten Metallen auf die Konstitution der Messinglegierungen. I. Der Einfluß von Blei. (Ein Beitrag zur Kenntnis des Dreistoff-Systems Blei-Zink-Kupfer.) Von O. BAUER und M. HANSEN. Mit 51 Abbildungen.

Untersuchungen an Kupfer und Messing. Von O. BAUER, FRHRN v. GÖLER und G. SACHS. Mit 23 Abbildungen.

Versuche zum Duraluminproblem. Von E. SCHMID und G. WASSERMANN. Mit 23 Abbildungen.

Die Altershärtung der aluminiumreichen Silber-Aluminiumlegierungen. Von M. HANSEN. Mit 6 Abbildungen.

Der Einfluß von Kohlenstoff, Mangan und Silizium auf das Wachsen des Gußeisens. Von O. BAUER und K. SIPP. Mit 69 Abbildungen.

Der Einfluß kleiner Zusätze von Kupfer und Nickel auf die Wärmeausdehnung und auf das Wachsen des Gußeisens. Von O. BAUER u. H. SIEGLERSCHMIDT. Mit 13 Abbildungen.

Anordnung der Kristallite in Vielkristallen (Texturen). Von E. SCHMID. Mit 26 Abbildungen.

Versuche über die Rekristallisation von Metallen. II. Von R. KARNOP und G. SACHS. Mit 12 Abbildungen.

Zur Kenntnis der Streckgrenze von Stahl. Von W. KUNTZE und G. SACHS. Mit 26 Abbildungen.

Was ist Ermüdung? Von K. LAUTE und G. SACHS. Mit 2 Abbildungen.

Zur Analyse des Formänderungswiderstandes. Von R. EISENSCHITZ, B. RABINOWITSCH und K. WEISSENBERG. Mit 2 Abbildungen.

Zur Ableitung einer Fließbedingung. Von G. SACHS. Mit 4 Abbildungen.

Festigkeit u. Plastizität v. Metallkristallen. Von E. SCHMID. Mit 13 Abbild.

Über die Dehnung von Cadmiumkristallen. Von W. BOAS und E. SCHMID. Mit 26 Abbildungen.

Das Fließen von Metallkristallen bei Torsion. Von R. KARNOP und G. SACHS. Mit 7 Abbildungen.

Festigkeitseigenschaften von Kristallen einer veredelbaren Aluminiumlegierung. Von R. KARNOP und G. SACHS. Mit 20 Abbildungen.

Untersuchungen an Kristallen von β-Messing. Von FRHRN. v. GÖLER und G. SACHS. Mit 12 Abbildungen.

Mechanische Eigenschaften von Messingkristallen. Von M. MASIMA und G. SACHS. Mit 27 Abbildungen.

Leitfähigkeit u. Kaltverformung. Von M. MASIMA u. G. SACHS. Mit 5 Abbild.

Dichte und Kaltverformung. Von M. MASIMA und G. SACHS. Mit 3 Abbild.

Digitized by Google

Sonderheft X:

Mit 328 Abbildungen. Etwa 120 Seiten.

Erscheint im Oktober 1929.

Einfluß der Temperatur und der Abkühlungsverhältnisse beim Gießen von Zink. Von O. BAUER und P. ZUNKER. Mit 46 Abbildungen.

Gefügeuntersuchungen an gegossenen Metallen und Legierungen. Von E. SCHMID. Mit 5 Abbildungen.

Die Löslichkeit von Kupfer und Silber. Von M. HANSEN. Mit 13 Abbildungen.

Die Veredelung einer Aluminiumlegierung im Röntgenbild. Von FRHRN. v. GÖLER und G. SACHS. Mit 25 Abbildungen.

Schmiedespannungen, Vergütungsspannungen und Wärmespannungen. Von G. SACHS. Mit 22 Abbildungen.

Der Einfluß des Einwalzens von Rohren auf gewöhnliches Kesselblech und auf Izett-Blech. Von O. BAUER und H. ARNDT. Mit 16 Abbildungen.

Elastizität, statische Versuche und Dauerprüfung. Von W. KUNTZE, G. SACHS und H. SIEGLERSCHMIDT. Mit 14 Abbildungen.

Die Dehnung von Blechen. Von G. SACHS und W. STENZEL. Mit 21 Abbildungen.

Die Prüfung von Seildrähten durch Zug- und Biegeversuche. Von G. SACHS und H. SIEGLERSCHMIDT. Mit 30 Abbildungen.

Über die Gußtextur von Metallen und Legierungen. Von F. C. NIX und E. SCHMID. Mit 19 Abbildungen.

Über die Textur gezogener Magnesium- und Zinkdrähte. Von E. SCHMID und G. WASSERMANN. Mit 5 Abbildungen.

Walz- und Rekristallisationstextur regulärflächenzentrierter Metalle. III. Von FRHRN. v. GÖLER und G. SACHS. Mit 17 Abbildungen.

Walz- und Rekristallisationstextur regulärflächenzentrierter Metalle. IV. Von FRHRN. v. GÖLER und G. SACHS. Mit 22 Abbildungen.

Walz- und Rekristallisationstextur regulärflächenzentrierter Metalle. V. Von FRHRN. v. GÖLER und G. SACHS. Mit 16 Abbildungen.

Zur Frage der Plastizität. Von M. POLANYI und E. SCHMID. Mit 5 Abbildungen.

Bemerkungen zur Kristallplastizität. Von W. BOAS und E. SCHMID. Mit 2 Abbildungen.

Zugversuche an Kristallen von Kupfer und α-Messing. Von FRHRN. v. GÖLER und G. SACHS. Mit 30 Abbildungen.

Wärmeeffekte bei Dehnung von Messingkristallen. Von M. MASIMA und G. SACHS. Mit 1 Abbildung.

Über die Temperaturabhängigkeit der kritischen Schubspannung von Cadmiumkristallen. Von W. BOAS und E. SCHMID. Mit 4 Abbildungen.

Festigkeit und Plastizität von Steinsalzkristallen. Von E. SCHMID und O. VAUPEL. Mit 13 Abbildungen.

Zur Probenahme und Analyse von Rotguß und anderen zur Seigerung neigenden Legierungen. Von O. BAUER und E. DEISS. Mit 2 Abbildungen.

228. 9. 29. 210.

Digitized by Google

Digitized by Google

Digitized by Google

To avoid fine, this book should be returned on
or before the date last stamped below

10M—4-47

FEB 3 '48

620.
B51
v. 0
1-10
1925-Oct

748351

Digitized by Google